



University of  
Sistan and Baluchestan

## Geography and Territorial Spatial Arrangement

Print ISSN: 2345 - 2277      Online ISSN: 2783 - 5278



Association of Geography  
and Planning  
of Border Areas of Iran

# Evaluating Rain Erosivity Indices Using Geostatistical Techniques in GIS Environment (Case Study: Golestan Province)

Saleh Arekhi<sup>1✉</sup>, Masoud Mahammd Ghasemi<sup>2</sup>

1. Department of Geography, Human Sciences College, University of Golestan, Golestan, Iran.

✉ E-mail: s.arekhi@gu.ac.ir

2. MS.c Student, Human Sciences College, Golestan University, Gorgan, Iran.

E-mail: m.ghasemi98@stu.gu.ac.ir



**How to Cite:** Arekhi, S & Mahammd Ghasemi, M. (2022). Evaluating Rain Erosivity Indices Using Geostatistical Techniques in GIS Environment (Case Study: Golestan Province). *Geography and Territorial Spatial Arrangement*, 12 (42), 101-108.

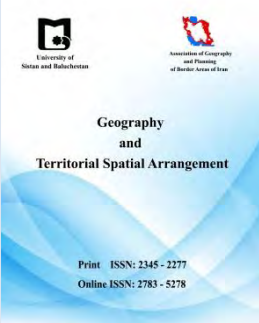
**DOI:** <http://dx.doi.org/10.22111/GAIJ.2022.6983>

Article type:  
Research Article

Received: 22/06/2021

Revised: 03/11/2021

Accepted: 27/11/2021



**Keywords:**  
Erosion, Rain Erosivity  
Indices, Geostatistics,  
Golestan Province.

## ABSTRACT

Today, Soil erosion is considered as one of the important issues of watershed management at the national and global levels. Estimating risk of soil reduction and its spatial distribution is one of the key factors for successful assessment of soil erosion. Rain erosivity index is the most important factor affecting soil erosion and is a function of the physical properties of rain. The aim of this study is to evaluate and model rainfall erosivity indices using geostatistical techniques. In the present study, rain erosivity in Golestan province has been modeled and estimated through Fournier, modified Fournier, IAS and Cicacci models and based on the 20-years statistical period (1999 to 2019) of the Meteorological Organization stations. After calculating the Rain erosivity factor for the desired stations, using inverse distance method (IDW), universal polynomial interpolation (GPI), radial basis function (RBF) and Kriging interpolation, map of rain erosivity indices of the province were drawn and to select the best interpolation method, the statistical indices of root mean square error (RMSE), mean absolute error (MAE) and mean bias error (MBE) were used. The results showed that the modified Fourier method is the best index (based on RMSE, MAE and MBE less in all four interpolation methods) and the radial basis function method is the best method among the methods used to estimate of rain erosivity. The results also showed that the rate of rain erosivity in the central areas of the province, especially the Gorganrood watershed and also eastern north and north of province with average minimum and maximum annual rainfall (216.1 and 776.9) and several points in the southwest of the province with average minimum and maximum annual rainfall (2/205 and 751) have more than the amount of rain erosion coefficient that such changes are affected by the pattern of rainfall distribution, intensity and topographic characteristics. The study of rain erosivity power of Golestan province shows that the pattern of rain erosivity distribution is significantly affected by the average rainfall of the region. So that the amounts of erosivity and average rainfall in this province are consistent and show almost the same pattern of behavior.



© the Author(s).

Publisher: University of Sistan and Baluchestan

## Extended Abstract

### Introduction

Rain erosivity is known as a key factor affecting erosion. Accurate knowledge of the quantitative amount of rain erosivity in an area is considered as a first step in sustainable soil and water management. Quantitatively, rain erosivity refers to the feature that has the highest correlation with soil loss (Nazarnejad et al., 2018: 89). If other characteristics affecting erosion are considered constant, the amount of soil loss will be directly proportional to the amount of rain erosivity (Salarvand et al., 2019: 57). The erosivity power of rain has a great role in soil erosion and able to show the erosion potential in the target areas (Morgan, 1995: 198). The rain erosivity can be divided into two groups: the first group is based on kinetic energy and rainfall intensity and the second group is based on easy stature. Among the globally accepted items in the first group are the Wischmeier-Smith index, the Hudson index, and the Oncho index, and the second group includes the Fournier, Morgan, Hernandez, and Rose indices (Safarrad et al., 2009). Predicting soil erosivity is necessary for optimal land management as well as soil use (Oliveira, 2013: 143). Rainfall erosivity as a dynamic factor can affect forestry, agriculture, hydrology, water management and ecosystem services. Therefore, rainfall erosion mapping can be used in decision making (Wang, 2002: 149). Determining the most appropriate interpolation method at the level of an area and explaining how its spatial and spatial distribution is necessary to estimate the spatial distribution of precipitation and subsequent rain erosion. Many researchers have compared and evaluated different interpolation methods, which shows the importance of the issue in reducing the error due to method selection.

The purpose of this study is to estimate the rain erosivity coefficient using the obtained relationships between the erosion coefficient and quantity-based indicators in order to draw a map of rain erosivity status in Golestan province. However, the calculation of indicators and the preparation of the best rain erosivity map has not been done separately for Golestan province. This study will help identify areas of the province with high erosion potential for management planning. In this regard, considering the importance of the subject under study, the general purpose of research is to evaluate and model rainfall erosivity indices using geostatistical techniques in the GIS environment.

### Study Area

Golestan province is located between 53 degrees and 51 minutes to 56 degrees and 22 minutes east longitude and 36 degrees and 30 minutes to 38 degrees and 8 minutes north latitude in the northern part of the country. This province is limited to Turkmenistan from the north, to Semnan province from the south, to North Khorasan province from the east and to the Caspian Sea and Mazandaran province from the west. Golestan province is located in the northern temperate region, which plays an effective role in the province's climate. The area of Golestan province is 20430.92 square kilometers, of which the equivalent of 8348 square kilometers includes the plains of the province, of which approximately 37.5 percent (3128 square kilometers) is the low coastal plain and 62.5 percent (square kilometers) is the wavy plain.

### Material and Methods

In this study, the erosivity power of rain with different indicators such as Fournier model (Fournier, 1960; 198 Morgan, 1995), modified Fournier (Arnoldus, 1980: 127-132), IAS (Lal and Elliot, 1994: 181-208) and Cicacci (Hadley et al. 1985: 127) and determining the best interpolation method for use in preparing rain erosion map in Golestan province. The reason for choosing Golestan province is that in the initial studies, it was found that this province has good rainfall statistics for research and the number and distribution of meteorological stations and rainfall stations are appropriate. By examining the rainfall data of the stations, a statistical period of 20 years was determined and it was used to determine the erosivity power of rain with different indicators. Because the parameters of these four indicators are parameters from which appropriate statistical information is available, and since interpolation algorithms are one of the most common methods for preparing maps and information required for analysis with GIS. In this study, some interpolation methods (deterministic and statistical) have been studied to prepare a map of rain erosivity power in the area. The following four indicators used in this study will be described.

The Fournier index and the modified Fournier have a high application and accuracy, which is why it has been researched by several researchers (Ahmadi et al., 2011: 1-14; Rezaei et al., 2014: 103). Using data from 78 watersheds, Fournier has proposed two different methods for sediment estimation. In the equations presented by Fournier, a direct relationship was found between the average annual sediment production and the ratio  $\frac{P^2}{p}$ .

This climatic ratio is known as the Fournier index and is used as the index of rain erosivity (Fournier, 1965: 38). The Fournier index is obtained from Equation 1:

$$F = \frac{P_i^2}{p} \quad \text{equation 1}$$

Where  $P_i$  is the maximum monthly rainfall (the wettest month of the year) and  $p$  is the average annual rainfall. Subsequently, the Fournier index was modified into Figure 2 and was widely used as an accessible index among the easily accessible indices.

$$MF = \frac{\sum_{i=1}^{12} p_i^2}{p} \quad \text{equation 2}$$

Where  $P_i$  is the rainfall of the 1<sub>st</sub> month, the average annual rainfall during the statistical period and MF is the modified Fourier index.

Index Ciccacci et al. 1985: 127 (Hadley) is calculated using Equation 3:

$$\frac{p}{\sigma} \quad \text{equation 3}$$

Where,  $P$ , average annual rainfall and  $\sigma$ , standard deviation of monthly rainfall values

IAS index (Lal, 1976: 389-401) is calculated using Equation 4:

$$m_{1stmax} + m_{2stmax} \quad \text{equation 4}$$

Where  $m_{1stmax}$  = the first maximum monthly rainfall per year and  $m_{2stmax}$  = the second maximum monthly rainfall per year.

## Result and Discussion

Of the total meteorological stations of the Ministry of Energy and the Meteorological Organization in the country, about 31 stations have statistics for more than 20 years that have been used to determine rain erosion. In this study, to investigate rain erosivity in Golestan province in terms of location and map in Golestan province, first rain erosivity was calculated with Fournier, modified Fournier, IAS and Ciccacci indices in meteorological stations. Then, using interpolation methods, these indicators were retrieved in all stations. Finally, by evaluating different interpolation methods and selecting the best interpolation method, an erosivity map was prepared in the province. The skewness coefficient is below one in all four cases and due to the low skewness, all four indicators follow the normal distribution.

In this study, a variogram was used to show the spatial correlation between rain erosivity data. Variograms were then used to fit the data to show the spatial correlation between the data in a more favorable way than other variograms. For this, the ratio between the piece effect and the variogram ceiling was used. If the ratio of the effect of a piece on the variogram ceiling is less than 0.25, there is a strong spatial correlation between the data.

If this ratio is between 0.25 and 0.75, the spatial correlation is moderate and if it is more than 0.75%, the spatial correlation between the data is low or there is no correlation. For this reason, this ratio was used to select the type of variogram. According to the parameters obtained for fitted variograms, a spherical variogram with a value of 0.10 modeled the best correlation between the data and was used for interpolation. Mir Mousavi et al. (Mir Mousavi et al., 2010: 112) introduced the conventional kriging method with spherical variogram to estimate the rainfall distribution using the geographic information system in Isfahan province as a better method than other kriging geostatistical methods. Also, Akhavan et al. (Akhavan et al., 2006: 95) used spherical variogram in estimating the spatial structure and volumetric inventory of Caspian forests using geostatistical method. Due to the fact that the variogram shows a trend in all directions, so no anisotropy was observed in the region.

According to the results, the amounts of rain erosivity have a significant correlation with changes in rainfall, so that areas with high and low rainfall have high and low erosivity, respectively. Therefore, rain erosivity values obtained from precipitation data can be used as a good estimate of the erosion potential of the region. It should be noted that the rain erosivity map only shows the erosion potential due to rain erosion and other factors affecting erosivity in the region, including soil erodibility, topography, vegetation and land use and management in the region can be examined.

## Conclusion

The relationship between precipitation and rain erosivity factor can be a good accuracy to consider this factor as rain erosivity factor with  $R^2$  value of 0.99. Da Silva (2004: 255) in Brazil reported a high correlation between changes in rainfall erosivity and changes in average annual rainfall. According to the results, the spherical facade change model is the preferred spatial structure on the data for zoning the quantity of rain erosivity power in Golestan province.

In order to quantify the effect of rain erosivity factor on the quantity of soil erosion, various indicators have been developed in various studies around the world. The aim of this study was to determine the best erosion index and also the best interpolation method in semi-humid climatic conditions of Golestan province. The purpose of this study is to determine the pattern of spatial changes of rain erosivity in Golestan province using four indices of Fournier, modified Fournier, IAS and Cicaccia.

Rain erosivity power was calculated in 31 rain gauge stations of Golestan province and to convert this point information into regional information, statistical based interpolation methods have been used. It is assumed that geostatistical methods can be used to estimate different indicators and one of these methods can be introduced as the superior method according to the conditions of the study area.

Based on the results presented in this research, among the four interpolation methods, RBF method has presented better results than the other three methods IDW, GPI and kriging. Because this model requires a set of input and output patterns to solve prediction problems, it has the ability to predict a spatial variable in an area as an independent interpolator. The results of this part of the research are consistent with the results of Apaydin et al. (2004: 35) and Ayouzi and Masaedi (1391: 57). Radial basis function (RBF) interpolation can be applied to noisy data that is irregularly distributed over an area, and a smooth multivariate interpolation is performed on the data. This method has been used by researchers to intervene in various parameters; experiments show that it can produce good results in different applications. However, Kriging method was introduced as one of the most suitable methods for Switzerland (Meusberger et al, 2012: 172).

The results of this study showed that various geostatistical methods, considering the spatial autocorrelation of data, are well able to combine spatial correlation with GIS. Also, the variograms used in this study showed well that drawing variograms, in addition to proving rain erosivity data, can also model spatial correlation changes in different directions. Other things that can be mentioned to improve the interventions performed are the comparison of more experimental variogram models and the selection of variograms that show the best correlation (in this study, four different variogram models were used). If there are more rain stations, the interpolation accuracy can also be increased.

The distribution of rain erosivity factor by the method of radial base function shows that in the middle parts of the province, the amount of rain erosion is maximum and as we go south, north and east its amount decreases. Therefore, it can be concluded that the amount of rain erosivity is directly related to altitude and rainfall factors. However, by considering other influential parameters such as direction, slope and other parameters, it is effective in increasing the accuracy of estimating the rain erosivity factor through interpolation.

Considering that in the present study, the spatial changes of the rain erosivity index have been studied, it is recommended to study its temporal changes for different seasons. The results and output information of this study can be used to estimate the amounts of erosion and sediment and prioritize the regions of Golestan province to implement erosion and sediment control projects.

**Key words:** Erosion, Rain Erosivity Indices, Geostatistics, Golestan Province.

#### References (Persian)

Ahmadi, Hassan; Javadi, Mohammad Reza; Salavati, agate. (2014). Zoning of rain erosivity by Fournier method using some interpolation methods (Case study: Qazvin province). Iranian Journal of Natural Ecosystems, Islamic Azad University, Noor Branch, Volume 5, Volume 2, Pages 1-14.

[http://neijournal.iaunour.ac.ir/article\\_520558\\_1f7488d491ac81f272d2dc1786208ac3.pdf](http://neijournal.iaunour.ac.ir/article_520558_1f7488d491ac81f272d2dc1786208ac3.pdf)

Akhavan, Reza; Zubiri, Mahmoud; Zahedi Amiri, Qawamuddin; Nemiranian, Manouchehr; Mandalaz, Daniel. (2006). Investigation of spatial structure and estimation of volume inventory of Caspian forests using volume inventory of Caspian forests using geostatistical method. Journal of Natural Resources. Faculty of Natural Resources, University of Tehran, Volume 58, Number 1, pp. 89-101.

<https://www.sid.ir/FileServer/JF/56513850107.pdf>

Saghafian, Bahram; Razmkhah, Homa; Red Cheshmeh, Baqir. (2011). Investigation of annual precipitation changes using geostatistical methods (Case study: Fars province). Journal of Water Resources Engineering, Islamic Azad University, Marvdasht Branch, Fourth Year, No. 9, pp. 28-38.

[http://wej.miau.ac.ir/article\\_1629\\_3424ad1c420f51cf1e7f7e77245bc632.pdf](http://wej.miau.ac.ir/article_1629_3424ad1c420f51cf1e7f7e77245bc632.pdf)

Hasani Pak, Ali Asghar. (1998). Geostatistics. Tehran: University of Tehran Press. 314 p.

<https://www.adinehbook.com/gp/product/9640340219>

Hasani Pak, Ali Asghar.(2007). Geostatistics. Tehran: University of Tehran, 380 pages.

<https://eshraghipub.com>. Detail

Rezaei, Peyman; Faridi, Butterfly; Ghorbani, Mansour; Kazemi, Mohammad (2014). Estimation of soil erosion using RUSLE model and identification of its most effective factor in Gabrik watershed-southeast of Hormozgan province, Auxiliary geomorphological research, Iranian Geomorphological Association, Third year, number 1, pp. 137-97.

<http://ensani.ir/file/download/article/20160105163012-10010-82.pdf>

Salarvand, Javad; Ghasami Agabash, Farahad; Asadollahi, Zahra .(2018). Preparation of rain erosion map of Lorestan province using Kriging statistical method, Climatological Research, Meteorological Organization - Climatological Research Institute, No. 36, pp. 57-72.

[http://clima.irimo.ir/article\\_92044\\_973ed7d5e274d48d2e208b0bc383984c.pdf](http://clima.irimo.ir/article_92044_973ed7d5e274d48d2e208b0bc383984c.pdf)

Sadeghi, Seyed Hamidreza; Zabihi, Mohsen (2018). Simultaneous analysis of changes in Fornier erosion indices and standardized rainfall in North Khorasan Province, Watershed Engineering and Management, Research Institute of Soil Conservation and Watershed Management in collaboration with the Iranian Watershed Management Association, Volume 10, Number 4, pp. 506-515.

[https://jwem.areeo.ac.ir/article\\_117879\\_7a536db68b1ed44da728848095e53773.pdf](https://jwem.areeo.ac.ir/article_117879_7a536db68b1ed44da728848095e53773.pdf)

Alizadeh, Amin (1989). Soil erosion and protection (translation). Astan Qadi Razavi Publications (Department of Cultural Affairs), 258 p.

<http://www.lib.ir> > book

Ayouzi, Masoumeh; Masaedi, Abolfazl (2012). Investigation of spatial distribution pattern of precipitation in Golestan province using definite models and statistical geography. Journal of Water and Soil. Ferdowsi University of Mashhad, Volume 26, Number 1, pp. 64-53.

[https://jsw.um.ac.ir/article\\_35801\\_01f3c461a2466154e089b9024b396a48.pdf](https://jsw.um.ac.ir/article_35801_01f3c461a2466154e089b9024b396a48.pdf)

Gholami, Hamid; Fathazade, Hasan; Safari, Atta; Needless, Mehdi. (2015). Estimation of Rain Erosion Factor Using Geostatistical Algorithms (Case Study: Ilam Province), Journal of Environmental Erosion Research, Hormozgan University, Volume 5, Number 4, pp. 1-16.

<http://magazine.hormozgan.ac.ir/article-1-256-fa.pdf>

Adeli, Behzad; Gholami, Hamid; Nafzadegan, Alireza (2016). Investigation of the characteristics of spatial distribution pattern of rain erosion in Hormozgan province. Quantitative Geomorphology Research, Iranian Geomorphological Association, Volume 5, Number 2, pp. 94-109.

<https://www.sid.ir/FileServer/JF/4032413950207.pdf>

Garime Zahra; Arabkhodari, Mahmoud; Asadi, Hussein; Bayat; Reza. (2017). Suspended sedimentation changes under the influence of rain erosion cycle in Sorkhab watershed. Iranian Journal of Watershed Management Science and Engineering, Iranian Watershed Management Association, Volume 11, Number 38, pp. 61-72.

<http://jwmsei.ir/article-1-640-fa.pdf>

Mokhtari, Davood; Valizadeh, Kamran; Khalil, Moradi; Absolute, Ehsan. (2019). Investigating the role of changing interpolation methods for R factor production in estimating soil erosion of catchments by RUSLE method (Case study: Balaroud catchment), Quantitative Geomorphology Research, Iranian Geomorphological Association, Volume 8, Number 3, pp. 222-241.

<https://www.sid.ir/FileServer/JF/4032413980313.pdf>

MirMusavi, Sayed Hussein; Mazidi, Ahmad; Khosravi, Younes (2010). Determining the best statistical method for estimating rainfall distribution using GIS (Case study: Isfahan province), Geographical Space, Islamic Azad University, Ahr Branch, Volume 30, Number 10, pp. 105-120.

<https://www.sid.ir/FileServer/JF/40013893006.pdf>

Nazarnejad, Habib; Shah Hussein, Tara; Asadzadeh, Farrokh. (2018). Spatial and temporal changes of rain erosion in West Azerbaijan province. Geography and Environmental Sustainability, Razi University, Volume 8, Number 2, pp. 89-99.

[https://ges.razi.ac.ir/article\\_921\\_99e85dc89a692eac5e9b58b31a9274bf.pdf](https://ges.razi.ac.ir/article_921_99e85dc89a692eac5e9b58b31a9274bf.pdf)

Nikokami, David; Mahdian, Mohammad Hussein (2014). Preparation of a suitable index of rain erosivity in the country. Watershed Engineering and Management, Research Institute of Soil Conservation and Watershed Management in collaboration with the Iranian Watershed Management Association, Volume 6, Number 4, pp. 364-376.

[https://jwem.areeo.ac.ir/article\\_100819\\_07a772897256f7078a6e2eceb29b5951.pdf](https://jwem.areeo.ac.ir/article_100819_07a772897256f7078a6e2eceb29b5951.pdf)

Wafakhah, Mehdi; Mohsen Sarwi, Mohsen; Mahdavi, Mohammad; Alawi Panah, Sayed Kazem. (2008). Application of geostatistics in estimating snow depth and density in Orazan watershed. Iranian Journal of Watershed Management Science and Engineering, Iranian Watershed Management Association, Volume 2, Number 4, pp. 49-55.

<https://www.sid.ir/FileServer/JF/48813870405.pdf>

## References (English)

- Apaydian, H., Sonmez, K., Yildirim, E. (2004). "Spatial interpolation techniques for climate data in the GAP region in Turkey". Journal of Climate Research, 28(1): 31-40.
- [https://www.researchgate.net/profile/HalitApaydin/publication/250221607\\_Spatial\\_Interpolation\\_Techniques\\_for\\_Climate\\_Data\\_in\\_the\\_Gap\\_Region\\_in\\_Turkey/inline/jViewer/5a211b59aca272ab5a62334f?inViewer=1&pdfJsDownload=1&origin=publication\\_detail&previewAsPdf=false](https://www.researchgate.net/profile/HalitApaydin/publication/250221607_Spatial_Interpolation_Techniques_for_Climate_Data_in_the_Gap_Region_in_Turkey/inline/jViewer/5a211b59aca272ab5a62334f?inViewer=1&pdfJsDownload=1&origin=publication_detail&previewAsPdf=false)
- Arnoldus, H.M.J. (1980). An approximation of the rainfall factor in the Universal Soil Loss Equation. In: De Boodt, M., Gabriels, D. Eds., Assessment of Erosion. Chichester, New York. pp. 127-132.
- [https://www.scirp.org/\(S\(czeh2tfqyw2orzM53k1w0r45\)\)/reference/ReferencesPapers.aspx?ReferenceID=1687726](https://www.scirp.org/(S(czeh2tfqyw2orzM53k1w0r45))/reference/ReferencesPapers.aspx?ReferenceID=1687726).
- Da Silva, A.M. (2004). Rainfall erosivity map for Brazil. Catena, 57(3), 251-259.
- [https://edisciplinas.usp.br/pluginfile.php/299519/mod\\_resource/content/0/Artigo%201%20-%20Silva%202004.pdf](https://edisciplinas.usp.br/pluginfile.php/299519/mod_resource/content/0/Artigo%201%20-%20Silva%202004.pdf)
- Fournier, F. (1956). The effect of climatic factors on soil erosion estimates of solids transported in suspension in runoff. Association Hydrologic Int. Public, 38:6.
- Fournier, F. (1960). Climate and erosion.paris university of paris.
- Hadley, R.F., Lal, R., Onstad, C.A., Walling, D.E., Yair A. (1985). Recent developments in erosion and sediment yield studies. UNESCO, Paris, 127 pp.
- Hasani Pak, A. 2013. Geostatistics. Tehran University Press, 314 (In Persian).
- <https://eshraghipub.com/product/detail/55753/>.
- Kouli, M., Soupios, P., Vallianatos, F. (2009). Soil erosion prediction using the Revised Universal Soil Loss Equation (RUSLE) in a GIS framework, Chain, Northwestern Crete, Greece. Environment Geology. 57: 483–497.
- <https://www.semanticscholar.org/paper/Soil-erosion-prediction-using-the-Revised-Universal-Kouli-Soupios/9b92e98c7dd4ac8aaedcdf398e20815541d0e871>.
- Lal, R., Elliot , W. (1994). Erodibility and erosivity. In Lal, R. (ed.), Soil erosion research methods. Soil and Water Conservation Society. Ankeny. 181-208.
- <https://www.taylorfrancis.com/chapters/edit/10.1201/9780203739358-8/erodibility-erosivity-lal-elliot>
- Meusburger, K., Steel, A., Panagos, P., Montanarella, L., Alewell, C. (2012). Spatial and temporal variability of rainfall erosivity factor for Switzerland. Hydrology and Earth System Sciences, 16, 167–177.
- <https://doi.org/10.5194/hess-16-167-2012, 2012>.
- Morgan, R.P.C. (1995). Soil erosion and conservation Addison-Wesley.london, 198p.
- [https://www.scirp.org/\(S\(i43dyn45teexjx455qlt3d2q\)\)/reference/ReferencesPapers.aspx?ReferenceID=117218](https://www.scirp.org/(S(i43dyn45teexjx455qlt3d2q))/reference/ReferencesPapers.aspx?ReferenceID=117218)
- Onori, F., Bonis, P.D., Grauso, S. (2006). Soil erosion prediction at the basin scale using the revised universal soil loss equation (RUSLE) in a catchment of Sicily (southern Italy). Environ Geol. 50: 1129-1140.
- <https://doi.org/10.1007/s00254-006-0286-1>

Oliveira, P.T.S., Wendland, E., Nearing, M.A. (2013). Rainfall erosivity in Brazil: a review, Catena, 100:139–147.

<https://doi.org/10.1016/j.catena.2012.08.006>

Safarrad, T., Hashemi, S.H., Amini, J. (2009). Exploitation of Geostatistical Techniques on Rainfall Erosivity Modeling Using Fournier Method (case study: Bash gheshlagh Catchment area) , Natinal Conference on GIS.

[http://neijournal.iaunour.ac.ir/article\\_520558\\_1f7488d491ac81f272d2dc1786208ac3.pdf?lang=en](http://neijournal.iaunour.ac.ir/article_520558_1f7488d491ac81f272d2dc1786208ac3.pdf?lang=en)

Tssung, C.K. (2004). Introduction to geographic information system, 2nd edition, Mc Graw Hill. 384 pages.

<https://www.amazon.com/Introduction-Geographic-Information-Systems-Kang-Tsung/dp/0072528117>

Wang, G., Gertner, G., Singh, V., Shinkareva, S., Parysow, P., Anderson, A. (2002). Spatial and temporal prediction and uncertainty of soil loss using the revised universal soil loss equation: a case study of the rainfall-runoff erosivity R factor. Ecological Modeling, 153:143–155.

[https://doi.org/10.1016/S0304-3800\(01\)00507-5](https://doi.org/10.1016/S0304-3800(01)00507-5)





پژوهشگاه علوم انسانی و مطالعات فرهنگی  
پرستال جامع علوم انسانی

## ارزیابی شاخص‌های فرسایندگی باران با استفاده از تکنیک‌های زمین‌آمار در محیط سیستم اطلاعات جغرافیایی (نمونه موردی: استان گلستان)

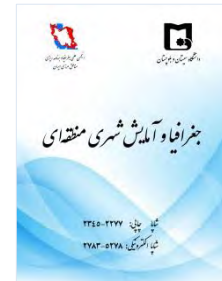
صالح آرخی<sup>۱</sup>، مسعود محمدقاسمی<sup>۲</sup>

### مقاله پژوهشی

#### چکیده

امروزه فرسایش خاک به عنوان یکی از مباحث مهم مدیریت حوضه‌های آبخیز در سطح ملی و جهانی مطرح است. برآورده خطر کاهش خاک و توزیع مکانی آن یکی از عوامل کلیدی برای ارزیابی موفق فرسایش خاک است. شاخص فرسایندگی باران مهم ترین عامل تأثیرگذار بر فرسایش خاک بوده و تابعی از خصوصیات فیزیکی باران است. هدف پژوهش حاضر، ارزیابی شاخص‌های فرسایندگی باران با استفاده از تکنیک‌های زمین‌آمار است. در تحقیق حاضر، فرسایندگی باران در استان گلستان از طریق مدل‌های فورنیه اصلاح شده، Cicacci و IAS و براساس دوره آماری ۲۰ ساله (۱۳۹۸ تا ۱۳۷۸) ایستگاه‌های سازمان هواشناسی مدل‌سازی و برآورد شده است. پس از محاسبه فاکتور فرسایندگی باران برای ایستگاه‌های مورد نظر، با استفاده از روش‌های دورنیایی عکس فاصله (IDW)، درون‌یابی چندجمله‌ای جهانی (GPI)،تابع پایه شعاعی (RBF) و درون‌یابی کریجینگ (Kriging)، نقشه شاخص‌های فرسایندگی باران استان ترسیم شد و درجهت انتخاب بهترین روش درون‌یابی از شاخص‌های آماری ریشه میانگین مربعات خطای میانگین قدر مطلق خطای (MAE) و میانگین خطای اربیب (MBE) استفاده شد. نتایج نشان داد روش فورنیه اصلاح شده بهترین شاخص (برمبانی MAE، RMSE و MBE) کمتر در هر چهار روش درون‌یابی و روش تابع پایه شعاعی به عنوان بهترین روش در میان روش‌های مورد استفاده می‌تواند برای برآورده فرسایندگی باران مورد استفاده قرار گیرد. همچنین نتایج نشان داد که میزان قدرت فرسایندگی باران در نواحی مرکزی استان به خصوص حوضه آبخیز گرگان‌رود و همچنین شمال و شمال شرق استان با میانگین حداقل و حد اکثر بارش سالانه ۲۱۶/۱ و ۷۷۶/۹ و چند نقطه در جنوب غرب حوضه با میانگین حداقل و حد اکثر بارش سالانه ۲۰۵/۲ و ۷۵۱ بیشترین مقدار ضرب فرسایندگی باران را دارا هستند که چنین تغییراتی می‌تواند متأثر از الگوی توزیع بارندگی، شدت آن و خصوصیات توپوگرافی باشد. بررسی قدرت فرسایندگی باران استان گلستان نشان می‌دهد که الگوی توزیع فرسایندگی باران به طور چشم‌گیری متأثر از میزان متوسط بارش منطقه است. به طوری که مقادیر فرسایندگی و متوسط بارش در این استان بر هم منطبق بوده و الگوی رفتاری تقریباً یکسانی را از خود نشان می‌دهند.

جغرافیا و آمایش شهری - منطقه‌ای  
شماره ۴۲، بهار ۱۴۰۱  
تاریخ دریافت: ۱۴۰۰/۰۴/۰۱  
تاریخ بازنگری: ۱۴۰۰/۰۸/۱۲  
تاریخ پذیرش: ۱۴۰۰/۰۹/۰۶  
صفحات: ۱۰۱-۱۲۸



#### واژه‌های کلیدی:

فرسایش، شاخص‌های فرسایندگی باران، زمین‌آمار، استان گلستان.

#### مقدمه

خاک یکی از مهم‌ترین منابع طبیعی در هر کشوری است که فرسایش آن باعث بروز بسیاری از مشکلات انسانی بهویژه در مناطق خشک و نیمه‌خشک می‌شود. در ایران بیش از ۷۵ درصد خاک‌ها در معرض فرسایش هستند (علیزاده، ۱۳۶۵: ۱۶۵). فرسایش خاک و رسوب یکی از معضلاتی است که در بسیاری از کشورها وجود دارد که باعث ازبین‌رفتن خاک‌ها، بروز سیلاب‌های شدید، کاهش عمر مفید سدها و مشکلات اقتصادی و اجتماعی می‌شود. درجهت توصیف قدرت باران در فرسودن خاک از شاخصی بهنام فرسایندگی باران استفاده می‌شود که توانایی باران

را در ازبین بردن پیوستگی و چسبندگی ذرات خاک نشان می‌دهد (علیزاد، ۱۳۶۵: ۱۵۰). فرسایندگی باران، به عنوان عامل کلیدی مؤثر بر فرسایش شناخته می‌شود. آگاهی دقیق از میزان کمی فرسایندگی باران در یک منطقه، به عنوان گام اولیه در مدیریت پایدار خاک و آب محسوب می‌شود. از نظر کمی، فرسایندگی باران به ویژگی از آن اطلاق می‌شود که دارای بیشترین همبستگی با میزان تلفات خاک باشد (نظرنژاد و همکاران، ۱۳۹۷: ۸۹). اگر سایر خصوصیات مؤثر بر فرسایش، ثابت در نظر گرفته شود، میزان هدر رفت خاک مستقیماً متناسب با میزان فرسایندگی باران خواهد بود (سالاروند و همکاران، ۱۳۹۷: ۵۷). قدرت فرسایندگی باران نقش زیادی در فرسایش خاک داشته و می‌تواند نشان‌دهنده پتانسیل فرسایش در مناطق مورد نظر باشد (Morgan, 1995: 198). شاخص‌های فرسایندگی باران را در کل می‌توان در دو گروه تقسیم‌بندی کرد که عبارت‌اند از: گروه اول شاخص‌های مبتنی بر انرژی جنبشی و شدت بارندگی و گروه دوم شاخص‌های مبتنی بر آمار سهل‌الوصول. از شاخص‌هایی که مقبولیت جهانی دارند در گروه اول می‌توان به شاخص ویشمایر- اسمیت<sup>۱</sup>، شاخص هادسون<sup>۲</sup> و شاخص اونچو<sup>۳</sup> و از شاخص‌های گروه دوم می‌توان به شاخص‌های فورنیه<sup>۴</sup>، مورگان<sup>۵</sup>، آرنولدز<sup>۶</sup> و رز<sup>۷</sup> اشاره کرد (Safarrad et al. 2009). پیش‌بینی فرسایش خاک برای مدیریت بهینه سرزمین و همچنین استفاده از خاک ضرورت دارد (Oliveira, 2013:143). فرسایندگی باران به عنوان یک عامل پویا می‌تواند جنگلداری، کشاورزی، هیدرولوژی، مدیریت آب و خدمات اکوسیستم را تحت تأثیر قرار دهد؛ بنابراین تهیه نقشه فرسایندگی باران می‌تواند در تصمیم‌سازی‌ها مورد استفاده قرار بگیرد (Wang, et al., 2002: 149). تعیین مناسب‌ترین روش درون‌یابی در سطح یک منطقه و تبیین چگونگی توزیع فضایی و مکانی آن، برای برآورد توزیع مکانی بارش و به دنبال آن فرسایندگی باران ضروری است. محققان بسیاری به مقایسه و ارزیابی روش‌های مختلف درون‌یابی پرداخته‌اند که نشان‌دهنده اهمیت موضوع در کاهش خطای ناشی از انتخاب روش است.

تاکنون پژوهش‌های بسیاری در زمینه درون‌یابی داده‌های اقلیمی و فرسایندگی باران در جهان و ایران صورت گرفته‌است. در محاسبه شاخص فرسایندگی باران با استفاده از زمین‌آمار در استان هبی<sup>۸</sup> چین، روش کریجینگ معمولی درجه‌دوم نسبت‌به روش کریجینگ معمولی درجه‌صفر و درجه‌یک عملکرد بهتری داشته و هچنین واریوگرام برآش داده گوسین عملکرد بهتری نسبت‌به واریوگرام کروی و نمایی داشته‌است (Muesburger et al., 2012: 172). آنوری<sup>۹</sup> و همکاران (۱۱۳۵: ۲۰۰۶)، به منظور برآورد فرسایش و رسوب در حوضه آبخیز سیسیل در شمال ایتالیا استفاده از مدل اصلاح‌شده جهانی فرسایش، میزان فاکتور فرسایندگی باران این مدل با استفاده از روش کریجینگ درون‌یابی کردند.

نیکنامی و مهدیان (۱۳۹۳: ۳۷۰) در پژوهشی با عنوان تهیه نقشه شاخص مناسب فرسایندگی باران کشور به این نتیجه رسیده‌اند که نقشه خروجی وجود روند کاهشی شاخص فرسایندگی باران را از مناطق غربی و شمالی به

<sup>1</sup>. Wischmeier& Smith

<sup>2</sup>. Hudson

<sup>3</sup>. Onchev

<sup>4</sup>. Fournier

<sup>5</sup>. Morgan

<sup>6</sup>. Arnoldus

<sup>7</sup>. Rose

<sup>8</sup>. HEBI

<sup>9</sup>. Onori

مناطق شرقی و جنوبی کشور نشان می‌دهد و این الگو مطابق با الگوی تغییرات اقلیمی از مناطق مرطوب به مناطق نیمه‌خشک است.

غلامی و همکاران (۱۳۹۴: ۹) در پژوهشی با عنوان برآورد فاکتور فرسایندگی باران با استفاده از الگوریتم‌های زمین‌آمار (مطالعه موردی: استان ایلام) به این نتیجه دست پیدا کرده‌اند که بررسی میزان شاخص فرسایندگی از روش‌های دورنیابی، روش عکس فاصله (IDW)<sup>۱</sup>، درونیابی چندجمله‌ای جهانی (GPI)<sup>۲</sup>، تابع پایه شعاعی<sup>۳</sup> (RBF)، درونیابی موضوعی (LPI)<sup>۴</sup> و کریجینگ<sup>۵</sup> استفاده شده و درجهٔ انتخاب بهترین روش درونیابی از شاخص‌های آماری ریشهٔ میانگین مربعات خطأ (RMSE)<sup>۶</sup> و میانگین قدر مطلق خطأ (MAE)<sup>۷</sup> استفاده شد. نتایج نشان داد که روش چندجمله‌ای جهانی با ریشهٔ میانگین مربعات خطأ برابر با  $28/93$  و میانگین قدر مطلق خطأ برابر با  $20/95$  بهترین روش است.

عادلی و همکاران (۱۳۹۵: ۱۰۲) در پژوهشی با عنوان بررسی خصوصیات الگوی توزیع مکانی فرسایندگی باران در استان هرمزگان به این نتیجه رسیده‌اند که دامنهٔ فرسایندگی برای ایستگاه‌های مورد بررسی از  $MJ \text{ mm ha}^{-1} h^{-1} yr^{-1}$  در ایستگاه جاسک تا  $414 MJ \text{ mm ha}^{-1} h^{-1} yr^{-1}$  در ایستگاه سد استقلال متغیر است. همچنین تغییرات عامل فرسایندگی باران استان هرمزگان، از الگوی منظمی پیروی نمی‌کند؛ به طوری که لکه‌های نامتجانس، در مناطق مختلف استان قابل مشاهده است. در مجموع بیشترین فراوانی با حدود  $40$  درصد از کل مساحت منطقه در دامنهٔ فرسایندگی  $140-100 MJ \text{ mm ha}^{-1} h^{-1} yr^{-1}$  قرار دارد و تنها  $7/6$  درصد از مساحت استان هرمزگان متأثر از بارش‌هایی با قدرت فرسایندگی بیش از  $200 MJ \text{ mm ha}^{-1} h^{-1} yr^{-1}$  است. گرامی و همکاران (۱۳۹۶: ۶۶) در مقاله‌ای با عنوان تغییرات رسوبدهی متعلق تحت تأثیر چرخهٔ فرسایندگی باران در حوضهٔ آبخیز سرخاب به این نتیجه رسیده‌اند که بشینه و کمینه رسوبدهی متعلق حوضهٔ بهترتبیب با مقدار حدود  $246216$  و  $1272$  تن در ماه‌های آذر و شهریور رخ داده است. همچنین در بررسی ماهانه چرخهٔ فرسایندگی در حوضهٔ سرخاب، بشینه و کمینه فرسایندگی باران به ترتیب در ماه دی و فصل تابستان (تیر، مرداد و شهریور) با میزان حدود  $182$  و  $0/01$  مگازول میلی‌متر بر هکتار ساعت بوده است. بیشترین مقادیر فاکتور فرسایندگی باران و رسوبدهی  $15$  روزه، در نیمهٔ دوم دی و آذر به ترتیب حدود  $104$  مگازول میلی‌متر بر هکتار ساعت و  $148241$  تن رخ داده است. رسوبدهی و فرسایندگی باران ماهانه در این حوضه، دارای دو اوج هستند که دو اوج رسوبدهی در آذر و فروردین و فرسایندگی باران در دی و فروردین اتفاق افتاده است.

صادقی و ذبیحی (۱۳۹۷: ۵۱۰) در تحقیقی با عنوان تحلیل همروندي تغییرات شاخص‌های فرسایندگی فورنیه اصلاح شده و بارش استانداردشده در استان خراسان شمالی چنین عنوان می‌کنند که روند شاخص بارش استاندارد شده و همچنین بارندگی در خراسان شمالی نشان داد که در اغلب ایستگاه‌ها ( $28/89$  درصد ایستگاه‌ها) جزو ایستگاه‌های خرتوت، نوشیروان، فاروج و آیرقایه، روند افزایشی وجود داشته است. همچنین، بشینه و کمینه مقدار

<sup>۱</sup>. Inverse Distance Weight

<sup>۲</sup>. Global Polynomial Interpolation

<sup>۳</sup>. Radial basis function

<sup>۴</sup>. local polynomial interpolation

<sup>۵</sup>. Kriging

<sup>۶</sup>. Root mean Square Error

<sup>۷</sup>. mean absolute Error

شاخص فرسایندگی فورنیه اصلاح شده در استان با مقدار  $97/70$  و  $44/33$  میلی متر به ترتیب مربوط به ایستگاه درکش و آبیاری بجنورد بوده است.

مختاری و همکاران (۱۳۹۸: ۲۳۱) در پژوهشی با عنوان بررسی نقش تغییر روش‌های درون‌یابی برای تولید عامل R در برآورد فرسایش خاک حوضه‌های آبریز به روش RUSLE (مطالعه موردی: حوضه آبریز بالارود) به این نتیجه رسیده‌اند که عامل R درون‌یابی شده از هر دو روش درون‌یابی جبری و کریجینگ معمولی دارای ضریب تعیین خودهمبستگی به ترتیب  $R^2=0.985$  و  $R^2=0.964$  هستند و گرچه اختلاف کمی در ضریب تعیین خودهمبستگی مکانی دارند، اما استفاده از عامل R درون‌یابی شده توسط روش جبری منجر به بیش‌برآورد فرسایش  $135/19315$   $t.ha^{-1}.yr^{-1}$  می‌شود. همچنین نتایج نشان داد که هر دو نقشه فرسایش برآورده شده کمترین و بیشترین رابطه همبستگی را به ترتیب با عامل‌های R و LS خود دارند.

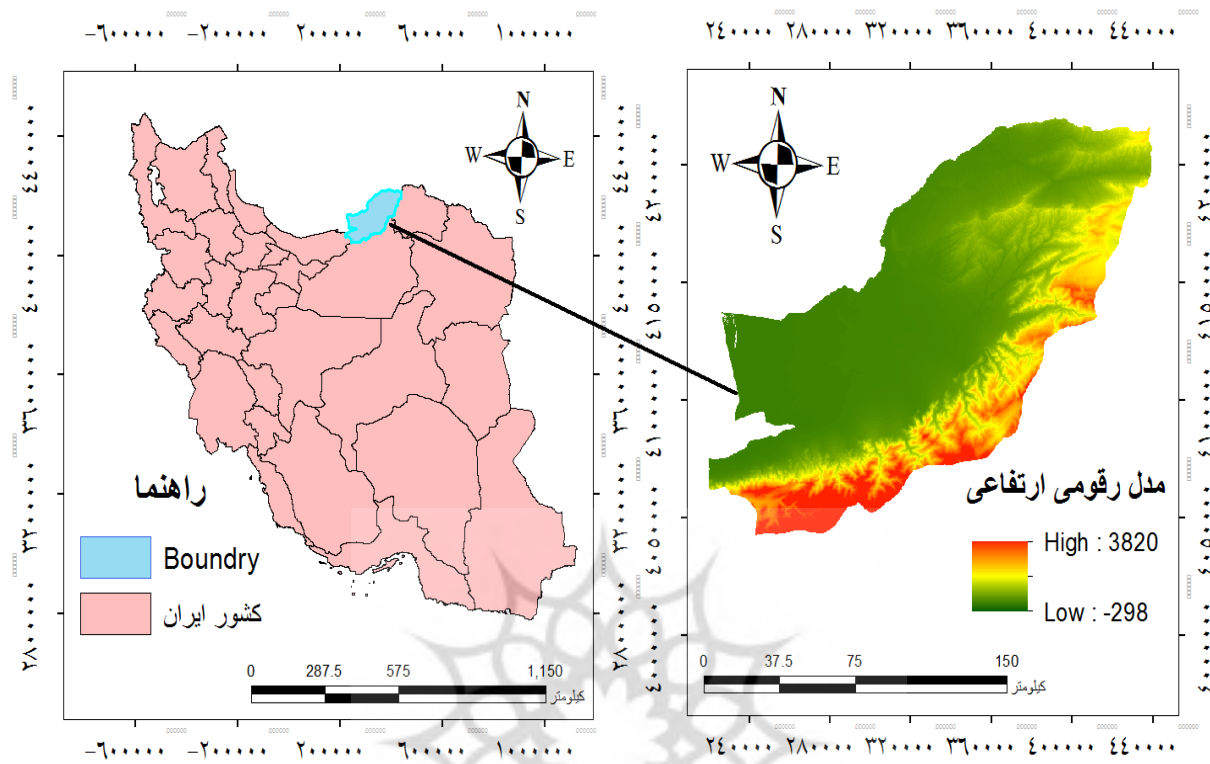
با نگاه به مطالعات انجام شده در گذشته که به برخی از آن‌ها نیز در بالا اشاره شده است، یکی از جنبه‌هایی که همواره نظر بسیاری از محققان علوم محیطی را به خود جلب کرده، ارزیابی اثرات فرسایندگی در مقیاس‌های مکانی مختلف در قالب شاخص‌های مختلف فرسایندگی بوده است. این شاخص از پرکاربردترین شاخص‌هایی است که فرسایندگی را در یک مقیاس ملی پایش می‌کند و نتایج آن می‌تواند برای یک مقیاس منطقه‌ای نیز تعیین داده شود. توانایی این شاخص‌ها در پایش فرسایندگی باران به خصوص در مناطق خشک و نیمه‌خشک در مطالعات تطبیقی خارجی مورد تأیید قرار گرفته است.

هدف از تحقیق حاضر، تخمین ضریب فرسایندگی باران با استفاده از روابط به دست آمده میان ضریب فرسایندگی و شاخص‌های مبتنی بر مقدار است تا در ادامه، نقشه وضعیت فرسایندگی باران در استان گلستان ترسیم شود. این در حالی است که محاسبه شاخص‌ها و تهیه بهترین نقشه فرسایندگی باران تاکنون به صورت جداگانه برای استان گلستان انجام نشده است. این مطالعه در شناسایی مناطق استان با پتانسیل بالای فرسایش‌پذیری به منظور برنامه‌ریزی‌های مدیریتی کمک خواهد کرد. در این راستا با توجه به اهمیت موضوع مورد مطالعه، هدف کلی پژوهش، ارزیابی و مدل‌سازی شاخص‌های فرسایندگی باران با استفاده از تکنیک‌های زمین‌آمار در محیط سیستم اطلاعات جغرافیایی است.

## مواد و روش

### معرفی منطقه مورد مطالعه

استان گلستان بین  $53$  درجه و  $51$  دقیقه تا  $56$  درجه و  $22$  دقیقه طول شرقی و  $36$  درجه و  $30$  دقیقه تا  $38$  درجه و  $8$  دقیقه عرض شمالی در بخش شمالی کشور واقع شده است. این استان از شمال به کشور ترکمنستان، از جنوب به استان سمنان، از شرق به استان خراسان شمالی و از غرب به دریای خزر و استان مازندران محدود می‌شود. استان گلستان در محدوده منطقه معتدله شمالی قرار گرفته که این عامل نقش مؤثری را در اقلیم استان بر عهده دارد. وسعت استان گلستان  $20430/92$  کیلومترمربع است که از این مقدار معادل  $8348$  کیلومترمربع شامل اراضی جلگه‌ای استان می‌شود که نزدیک به  $37/5$  درصد ( $3128$  کیلومترمربع) از آن را جلگه ساحلی پست و  $62/5$  درصد (کیلومترمربع) آن را جلگه موج تشکیل می‌دهد. شکل ۱ موقعیت محدوده مورد مطالعه را در کشور نشان می‌دهد.



شکل ۱. موقعیت محدوده مطالعه در استان گلستان

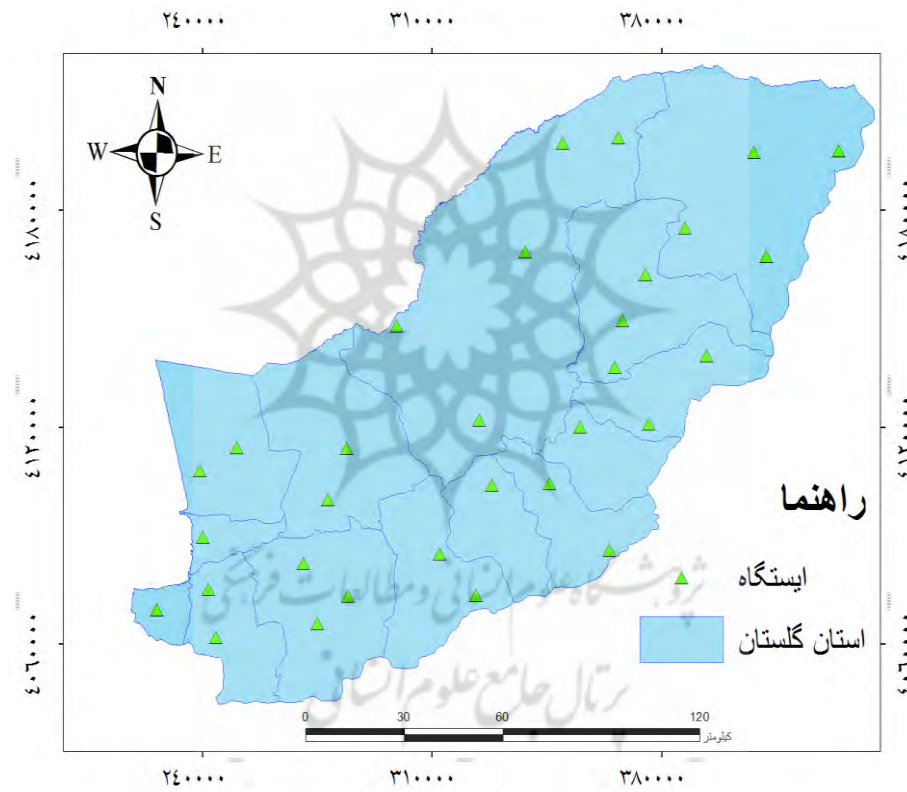
(منبع: نگارندگان، ۱۳۹۹)

### روش تحقیق

در این تحقیق به پهنه‌بندی قدرت فرسایندگی باران با شاخص‌های مختلف از جمله مدل فورنیه (Fournier, 1960)، فورنیه اصلاح شده (Morgan, 1995)، Morgan, 1995: 198، Lal and Elliot, 1994: 181-208)، IAS، Arnoldus, 1980: 127-132)، Morgan, 1995: 198)، Morgan, 1995: 198)، Hadley et al. 1985: 127)، Ciccacci و تعیین بهترین روش درون‌یابی، درجهت استفاده در تهیه نقشه فرسایندگی باران در استان گلستان پرداخته شده است. دلیل انتخاب استان گلستان این است که در بررسی‌های اولیه مشخص شد که این استان دارای آمار بارندگی مناسبی درجهت انجام تحقیق بوده و تعداد و نحوه پراکنش ایستگاه‌های هواشناسی و ایستگاه‌های باران‌سنجی در آن مناسب است. با بررسی داده‌های بارندگی ایستگاه‌ها، یک دوره آماری ۲۰ ساله تعیین شد و با استفاده از آن به تعیین قدرت فرسایندگی باران با شاخص‌های مختلف پرداخته شد؛ زیرا پارامترهای این چهار شاخص، پارامترهایی هستند که اطلاعات آماری مناسبی از آن‌ها در اختیار است و از آنجایی که الگوریتم‌های درون‌یابی از متداول‌ترین روش‌ها برای تهیه نقشه‌ها و اطلاعات مورد نیاز در تحلیل با GIS است. در این تحقیق به بررسی برخی روش‌های درون‌یابی (قطعی و زمین‌آماری) درجهت تهیه نقشه قدرت فرسایندگی باران در منطقه مورد نظر پرداخته شده است.

## گردآوری آمار و اطلاعات

به منظور جمع‌آوری آمار به سازمان‌های هواشناسی کشور و سازمان مطالعات منابع آب ایران مراجعه شد و اطلاعات مربوط به میزان بارندگی ماهانه، سالانه و همچنین خصوصیات ایستگاه‌ها اعم از طول و عرض جغرافیایی، ارتفاع ایستگاه‌ها دارای بارندگی بوده، تهیه شده است. دوره داده‌های موجود در ایستگاه‌های مختلف، متفاوت بوده و در برخی از ایستگاه‌ها داده‌ها برای دوره سی ساله و برخی ایستگاه‌ها برای دوره‌های کمتر یا بیشتر موجود بوده است؛ ازین‌رو با بررسی آن‌ها یک دوره آماری مشترک ۲۰ ساله (۱۳۹۸-۱۳۷۸) انتخاب شد؛ به‌طوری‌که در انتهای از داده‌های ۳۱ ایستگاه با توجه به دوره آماری مشترک استفاده شد. شکل ۲ پراکنش ایستگاه‌های انتخابی را نشان می‌دهد. همان‌طور که شکل فوق نشان می‌دهد، تراکم ایستگاه‌ها در بخش جنوبی استان بیشتر از مناطق دیگر است.



شکل ۲. پراکنش ایستگاه‌های انتخابی در استان گلستان

(منبع: نگارندگان، ۱۳۹۹)

## بررسی همگنی و نرمال‌بودن داده‌ها

اولین گام در استفاده از روش‌های زمین‌آماری، مقایسه داده با توزیع نرمال است که در صورت عدم توزیع نرمال داده‌ها، توزیع داده‌ها با استفاده از روش لوگ‌نرمال یا باکس-کاکس<sup>۱</sup> به توزیع نرمال تبدیل می‌شود (حسنی‌پاک، ۱۳۸۶: ۳۸۰). در این پژوهش، در ابتدا توزیع داده‌های فاکتور فرسایندگی باران ترسیم و میزان انحراف آن از توزیع نرمال با استفاده از شاخص‌های آماری همچون میانگین، چولگی و سایر پارامترهای آماری محاسبه شد.

<sup>1</sup>. BOX-COX

## طبقه‌بندی شاخص‌های فرسایندگی باران

در یک دیدگاه کلی، شاخص‌های فرسایندگی باران را می‌توان در قالب دو گروه شاخص‌های مبتنی بر انرژی جنبشی و شدت بارندگی و شاخص‌های مبتنی بر آمار سهل‌الوصول بارندگی (شاخص‌های زودیافت) تقسیم‌بندی کرد. تصمیم‌گیری درباره انتخاب شاخص مناسب و تهیه نقشه فرسایندگی باران مشکل به نظر می‌رسد. در این تحقیق تصمیم گرفته شد که از یکسری شاخص‌های نسبتاً ساده که امکان محاسبه آن با اطلاعات ایستگاه‌های باران سنجی مقدور بوده و از طرف دیگر مقبولیت بیشتری داشته باشند، استفاده شود. از میان این‌گونه شاخص‌ها، شاخص فرسایندگی فورنیه و فورنیه اصلاح‌شده، شاخص Ciccacci، شاخص IAS و... بیش از شاخص‌های دیگر در تعیین فرسایندگی باران و تهیه نقشه فرسایندگی به خصوص برای مناطق فاقد آمار شدت بارندگی مورد توجه محققان مختلف قرار گرفته‌اند. در مقابل، محاسبه EI<sub>۳</sub> (شاخص‌های مبتنی بر انرژی جنبشی و شدت بارندگی) مستلزم وجود آمار شدت بارندگی است که در ایستگاه‌های مجهز به باران‌نگار تهیه می‌شوند. متأسفانه چنین آماری در بیشتر ایستگاه‌های هواشناسی کشور، از جمله استان گلستان وجود ندارد (رضائی و همکاران، ۱۳۹۳: ۱۰۱)، بنابراین برای فائق‌آمدن بر مشکل اخیر، روش‌ها و شاخص‌های سهل‌الوصول (شاخص‌های زودیافت) پیشنهاد شده‌اند. در این تحقیق تعدادی از مهم‌ترین شاخص‌های زودیافت برای ایستگاه‌های مجهز به باران‌نگار شامل شاخص‌های فورنیه (F)، فورنیه اصلاح‌شده (MF)، شاخص Ciccacci و شاخص IAS استفاده شده است که در ادامه شرح داده می‌شود.

### شاخص‌های فرسایندگی باران فورنیه و فورنیه اصلاح‌شده

شاخص فورنیه و فورنیه اصلاح‌شده از کاربرد و دقت بالایی برخوردارند که بهمین دلیل توسط پژوهشگران متعدد مورد پژوهش و تحقیق قرار گرفت (احمدی و همکاران، ۱۳۹۰: ۱-۱۴؛ رضائی و همکاران، ۱۳۹۳: ۱۰۳). فورنیه با استفاده از داده‌های ۷۸ حوضه‌آبخیز، دو روش مختلف برای برآورد رسوب ارائه داده است. در معادلات ارائه شده توسط فورنیه، رابطه مستقیمی بین میانگین سالانه تولید رسوب و نسبت  $\frac{P^2}{p}$  یافت شد. این نسبت اقلیمی با عنوان شاخص فورنیه شناخته شده و به عنوان شاخص فرسایندگی باران مورد استفاده قرار می‌گیرد (Fournier, 1956: 38).

شاخص فورنیه از رابطه ۱ به دست می‌آید:

$$F = \frac{Pi^2}{p} \quad (\text{رابطه } 1)$$

که در آن  $Pi$  حداکثر بارندگی ماهانه (بارش مرطوب‌ترین ماه سال) و  $p$  متوسط بارندگی سالانه است. در ادامه شاخص فورنیه به شکل رابطه ۲ اصلاح شده و با عنوان شاخص فورنیه اصلاح‌شده مورد استفاده گسترده‌ای در بین شاخص‌های سهل‌الوصول قرار گرفت.

$$MF = \frac{\sum_{i=1}^{12} pi^2}{p} \quad (\text{رابطه } 2)$$

که در آن،  $Pi$  بارندگی ماه‌نام، متوسط بارندگی سالانه در طول دوره آماری و MF شاخص فورنیه اصلاح‌شده است.

### Ciccacci شاخص

شاخص Ciccacci با استفاده از رابطه ۳ محاسبه می‌شود:

$$\frac{p}{\sigma} \quad (\text{رابطه } 3)$$

که در آن  $P$ ، متوسط بارندگی سالانه و  $O$ ، انحراف معیار مقادیر بارندگی‌های ماهانه

### IAS شاخص

شاخص IAS (Lal, 1976: 389-401) با استفاده از رابطه ۴ محاسبه می‌شود:

$$m_{1stmax} + m_{2stmax} \quad (\text{رابطه } 4)$$

که در آن،  $m_{1st max}$ =اولین حداکثر بارش ماهانه در سال و  $m_{2st max}$ =دومین حداکثر بارش ماهانه در سال

### پهن‌بندی فاکتور فرسایندگی باران

برای پهن‌بندی یا درون‌یابی فرسایندگی باران، از تکنیک زمین‌آمار، استفاده می‌شود. درون‌یابی به معنای تبدیل داده‌های نقطه‌ای به داده‌های پهن‌بندی است (تسونگ، ۲۰۰۴: ۳۸۴). در بررسی‌های آمار کلاسیک، نمونه‌هایی که از کل جامعه به منظور شناخت برداشت می‌شوند، فاقد داده‌های موقعیت مکانی است، در حالی که در زمین‌آمار، افزون بر یک مقدار کمیت معین در یک نمونه، موقعیت مکانی نمونه نیز مورد توجه قرار می‌گیرد. بدین‌منظور می‌توان موقعیت مکانی نمونه‌ها را همراه با مقدار کمیت موردنظر یک‌جا مورد بررسی قرار داد. ممکن است این ارتباط مکانی (فاصله و جهت) بین مقدار کمیت در جامعه نمونه‌های برداشت شده، در قالب‌های ریاضی قابل‌بیان باشد. به این قالب‌های ریاضی، ساختار مکانی گفته می‌شود. در زمین‌آمار می‌توان با کاربرد داده‌های یک کمیت در مختصات معلوم، مقدار همان کمیت را در نقطه‌ای با مختصات معلوم دیگر، واقع در دامنه‌ای که ساختار مکانی حاکم است، تخمین زد (حسنی پاک، ۱۳۷۷: ۳۱۴). در تعیین ارزش یک نقطه، تمامی نقاط مجاور و معلوم به حالت یکسان مؤثر نیستند؛ بنابراین هریک از نقاط یادشده، به تناسب تأثیرشان بر ارزش نقطه مجھول، حامل وزنی خواهد بود. روش‌های مختلفی برای درون‌یابی وجود دارد، اما این روش‌ها از هر نوع که باشند، می‌توانند به صورت معادله خطی یا غیرخطی باشند (شقیان و همکاران، ۱۳۹۰: ۲۹-۳۸). برای تعیین رابطه مکانی داده‌ها، از نیم تغییرنما یا واریوگرام استفاده می‌شود. واریوگرام که در واقع نمودار واریانس بر مبنای فاصله بین نمونه‌هاست، رکن اصلی زمین‌آمار است که ساختار ارتباط مکانی بین نمونه‌ها را نشان می‌دهد. تابع واریوگرام به صورت رابطه ۵ تعریف می‌شود:

$$y(h) = \frac{1}{2N(h)} \sum_{i=1}^n (Z(x_i + h) - Z(x_i))^2 \quad (\text{رابطه } 5)$$

$y(h)$ : مقدار واریوگرام در فاصله  $(h)$

$Z(x_i + h)$ : مقدار اندازه‌گیری شده متغیر در موقعیت  $(x_i + h)$

$Z(x_i)$ : مقدار اندازه‌گیری شده متغیر در موقعیت  $(x_i)$

$N(h)$ : تعداد اندازه‌گیری‌های انجام‌شده در محدوده مورد تحقیق

در این تحقیق به منظور بررسی میزان شاخص‌های فرسایندگی از روش‌های درون‌یابی روش عکس فاصله (IDW)، درون‌یابی چندجمله‌ای جهانی (GPI)، تابع پایه شعاعی (RBF) و کریجینگ استفاده شد. شرح مدل‌های درون‌یابی استفاده شده در پژوهش به شرح ذیل است:

## روش‌های درون‌یابی

روش‌های درون‌یابی به دو دسته کلی قطعی و زمین‌آماری تقسیم‌بندی می‌شوند. از دسته اول روش‌های توابع شعاعی پایه، روش چندجمله‌ای جهانی و عکس فاصله وزن‌دار و از دسته زمین‌آماری روش‌های کریجینگ انتخاب شدن. در روش توابع شعاعی پایه از توابع ریاضی برای حداقل‌سازی انحنا و نوسانات سطحی متغیر استفاده می‌شود. پارامترهای توابع ریاضی مورد استفاده به نحوی تنظیم می‌شوند که سطح کلی برآورده شده با دارابودن حداقل انحنا از نقاط اندازه‌گیری شده عبور کند. در روش چندجمله‌ای جهانی، سطحی با تغییرات خیلی کم با استفاده از درجات پایین ایجاد می‌شود که از آن می‌توان در بعضی از فرایندهای فیزیکی مانند روندیابی فرسایندگی استفاده کرد؛ اما باید به این نکته توجه داشت که هرچه درجه یا توان این روش افزایش یابد، نسبت‌دادن آن به پدیده‌های فیزیکی مشکل‌تر می‌شود. کاربرد اصلی این روش برای موقعی است که تغییرات یک سطح به کندی از یک ناحیه به ناحیه دیگر تغییر کند. در روش عکس فاصله وزن‌دار، وزن تابعی از عکس فاصله است و نقاط نزدیک‌تر تأثیر بیشتری در برآورد نقطه مجھول دارند. کریجینگ یک روش تخمین است که بر منطق میانگین متحرک وزن‌دار استوار است. این تخمین‌گر به عنوان بهترین تخمین‌گر خطی ناریب شناخته می‌شود. از مهم‌ترین ویژگی‌های کریجینگ این است که به‌ازای هر تخمین، خطای مرتبط با آن را می‌توان محاسبه کرد؛ بنابراین برای هر مقدار تخمین زده شده، می‌توان دامنه اطمینان آن تخمین را محاسبه کرد. در حالی که روش‌های کلاسیک این کارایی را ندارد (Hasani, 2013). در روش کریجینگ برای تخمین نقاط مجھول از رابطه ۶ استفاده می‌شود:

$$Z_{Vi^*} = \sum_{i=1}^n w_i \lambda_i z_{Vi} \quad (رابطه ۶)$$

که در آن:

$Z_{Vi^*}$  = میزان داده برآورد شده،  $\lambda_i$ : وزن نقطه آم، که مجموع آن‌ها در همه نقاط برابر با یک است.  $w_i$ : میزان داده اندازه‌گیری شده است.

برای انتخاب مناسب‌ترین روش درون‌یابی از روش ارزیابی متقابل<sup>۱</sup> استفاده می‌شود. در این روش، در هر مرحله یک نقطه مشاهده‌ای حذف می‌شود و با استفاده از بقیه نقاط مشاهده‌ای، این نقطه برآورد می‌شود. این کار برای همه نقاط مشاهده‌ای تکرار می‌شود، به طوری که در آخر به تعداد نقاط مشاهده‌ای، برآورد وجود خواهد داشت. با داشتن مقادیر واقعی و برآورده شده می‌توان خطای و انحراف روش استفاده شده را برآورد کرد. معیارهای مختلفی نیز برای ارزیابی کارایی روش‌های درون‌یابی وجود دارد که از بین آن‌ها می‌توان به میانگین خطای مطلق، میانگین خطای اریب و ریشه میانگین مربعات خطای اشاره کرد. معادلات محاسبه آن‌ها به قرار زیر است:

$$MAE = \frac{\sum_{i=1}^n |z_{mi} - z_{ei}|}{n} \quad (رابطه ۷)$$

$$RMSE = \sqrt{\frac{\sum_{i=1}^n [z_{mi} - z_{ei}]^2}{n}} \quad (رابطه ۸)$$

$$MBE = \frac{\sum_{i=1}^n [z_{mi} - z_{ei}]}{n} \quad (رابطه ۹)$$

که در آن‌ها،  $n$  = تعداد نقاط مشاهده‌ای؛  $Z_{ei}$  = مقدار برآورده بر نقطه آم،  $Z_{mi}$  = مقدار مشاهده‌ای بر نقطه آم  $\bar{Z}_{ei}$  = میانگین مقادیر مشاهده‌ای

<sup>۱</sup>. Cross Validate

هر اندازه این معیارها به صفر نزدیک‌تر باشند، نشان‌دهنده اختلاف کمتر مقادیر برآورده نسبت به مقادیر مشاهده‌ای است.

### بحث و نتایج

از مجموع ایستگاه‌های هواشناسی وزارت نیرو و سازمان هواشناسی موجود در کشور، در حدود ۳۱ ایستگاه دارای آمار بیش از ۲۰ سال بوده که در تعیین فرسایندگی باران از آن‌ها استفاده شده است.

در این تحقیق برای بررسی فرسایندگی باران در استان گلستان از نظر مکانی و ارائه نقشه در استان گلستان، ابتدا فرسایندگی باران با شاخص‌های فورنیه، فورنیه اصلاح‌شده، IAS و Ciccacci در ایستگاه‌های هواشناسی محاسبه شد. سپس با استفاده از روش‌های درون‌یابی، این شاخص‌ها در همه ایستگاه‌ها درون‌یابی شد. درنهایت با ارزیابی روش‌های مختلف درون‌یابی و انتخاب بهترین روش درون‌یابی، نقشه هم فرساینده در استان تهیه شد. مقادیر مربوط به فاکتور فرسایندگی باران با چهار شاخص برای ۳۱ ایستگاه باران‌سنجدی مورد استفاده در این تحقیق در جدول ۱ آمده است.

آمارهای توصیفی شاخص‌های مدل فورنیه، فورنیه اصلاح‌شده، IAS و Ciccacci در ایستگاه‌های هواشناسی در طی دوره در جدول ۲ ارائه شده است. ضریب چولگی در هر چهار مورد زیر یک است و با توجه به کمبودن چولگی هر چهار شاخص از توزیع نرمال تعییت می‌کند.

جدول ۱. مقادیر فرسایندگی باران در ایستگاه‌های مورد مطالعه واقع در استان گلستان

نام ایستگاه	عرض جغرافیایی	طول جغرافیایی	ارتفاع	بارش	فورنیه	فورنیه اصلاح‌شده	Ciccacci	IAS
تنگره	۳۷/۴۰	۵۵/۷۶	۳۳۰	۷۱۱	۱۷۳	۲۷۵	۱۴۵	۱۷۲
تمر	۳۷/۴۸	۵۵/۵۱	۱۳۲	۵۱۶	۱۳۷	۱۴۶	۱۷۱	۱۳۳
قلی‌تپه	۳۷/۲۳	۵۵/۴۲	۲۵۰	۷۹۳	۲۲۸	۳۳۹	۱۳۵	۲۰۱
نزاب	۳۷/۰۱	۵۵/۵۹	۱۵۰۰	۴۱۵	۱۰۲	۹۶	۱۹۳	۱۰۳
گنبد	۳۷/۲۳	۵۵/۱۳	۳۶	۴۳۱	۱۰۲	۱۰۳	۱۹۰	۱۰۷
انویلقلی	۳۶/۹۸	۵۴/۵۷	۲۴	۴۲۷	۸۶	۱۰۱	۱۹۲	۱۰۴
پس پشتہ	۳۷/۱۷	۵۵/۳۵	۱۸۰	۸۸۸	۲۴۵	۴۲۹	۱۲۹	۲۲۱
نوده	۳۷/۰۷	۵۵/۲۷	۲۸۰	۸۴۹	۱۹۸	۳۸۲	۱۳۰	۲۰۳
رودبار	۳۶/۹۱	۵۵/۳۲	۱۰۴۰	۴۲۷	۹۹	۱۰۰	۱۸۹	۱۰۲
اراز کوسه	۳۷/۲۲	۵۵/۱۵	۳۴	۴۵۴	۱۰۷	۱۱۴	۱۸۵	۱۱۰
رامیان	۳۷/۰۲	۵۵/۱۴	۲۰۰	۸۳۹	۲۲۰	۳۹۷	۱۳۷	۲۱۳
قراق لی	۳۷/۲۳	۵۵/۰۲	۳۰	۳۵۶	۸۶	۷۱	۲۱۳	۹۰
با سالیان	۳۶/۹۰	۵۴/۷۵	۲۰	۳۴۳	۷۱	۶۶	۲۱۸	۸۶
تقی‌آباد	۳۶/۸۷	۵۴/۶۳	۱۰۰	۵۷۵	۹۸	۱۷۱	۱۵۸	۱۳۴
آق‌قلاء	۳۷/۰۲	۵۴/۵۱	-۱۲	۴۰۸	۷۶	۹۳	۱۹۹	۱۰۰
تیل آباد	۳۶/۹۱	۵۵/۴۷	۱۰۰۰	۲۶۴	۷۵	۴۱	۲۵۷	۷۰
فارسیان فرنگ	۳۷/۲۳	۵۵/۶۰	۹۰۰	۷۱۵	۱۹۲	۲۷۸	۱۴۳	۱۸۰
زرین گل	۳۶/۸۷	۵۴/۹۶	۲۸۰	۷۸۳	۱۷۱	۳۱۸	۱۳۵	۱۸۶
کبودوال	۳۶/۸۹	۵۴/۸۹	۲۰۰	۵۵۲	۱۰۷	۱۵۹	۱۶۳	۱۳۱

۱۴۵	۱۷۱	۲۵۴	۱۴۹	۶۹۴	۵۰۰	۵۴/۷۹	۳۶/۸۳	سرمو
۱۸۳	۱۲۶	۱۳۰	۱۳۰	۴۷۷	۵۰۰	۵۵/۷۲	۳۷/۷۲	قرناق
۱۵۲	۱۴۷	۲۰۲	۱۳۷	۶۱۹	۱۰۰۰	۵۵/۰۲	۳۶/۷۹	شیرین آباد
۱۶۵	۱۵۳	۱۸۴	۱۶۵	۵۷۲	۲۵۰	۵۵/۵۸	۳۷/۶۰	پیش کمر
۱۵۴	۱۶۸	۲۴۸	۱۸۰	۶۶۵	۵۰	۵۵/۰۷	۳۷/۰۷	کنگار
۱۶۰	۱۴۷	۱۸۷	۱۴۷	۵۸۵	۱۶۰	۵۵/۵۲	۳۷/۴۰	وگز
۱۵۰	۱۶۲	۲۴۲	۱۵۷	۶۶۷	۴۶۰	۵۵/۸۰	۳۷/۴۰	پارک ملی
۱۷۸	۱۰۹	۱۲۰	۹۵	۴۷۴	۲۱۰	۵۴/۷۵	۳۶/۸۹	فاضل آباد
۱۶۹	۱۳۲	۱۶۰	۱۲۷	۵۴۰	۳۱	۵۴/۹۲	۳۷/۰۳	لاله باغ
۱۶۵	۱۴۱	۱۷۴	۱۳۴	۵۶۰	۳۰۰	۵۵/۶۵	۳۷/۶۰	قپان
۱۵۸	۱۵۳	۱۹۸	۱۵۱	۶۰۱	۱۵۷	۵۵/۴۸	۳۷/۳۷	کلاله
۱۴۰	۱۸۴	۲۹۴	۱۸۲	۷۴۰	۱۹۰	۵۵/۳۷	۳۷/۲۲	مینودشت

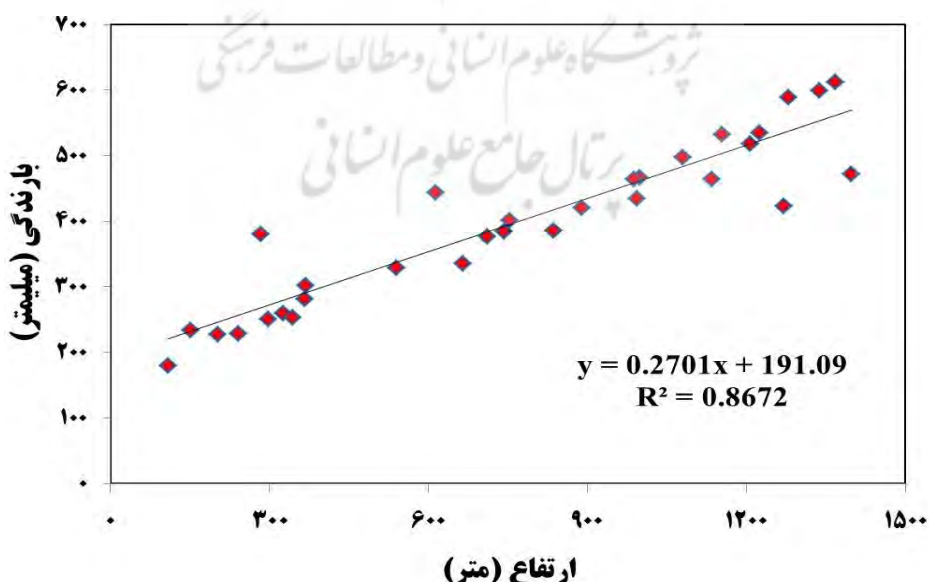
(منبع: نگارندگان، ۱۳۹۹)

جدول ۲. خصوصیات آماری داده‌ها قبل از تبدیل لوگ‌نرمال و بعد از تبدیل لوگ‌نرمال (فورونیه اصلاح شده)

توزيع داده‌ها	تعداد	میانگین	انحراف معیار	چولگی
بدون تبدیل	۳۱	۲۴۳/۴۳	۷۵/۱۱	۰/۷۱
لوگ نرمال	۳۱	۷/۶۵	۰/۳۰	۰/۳۶

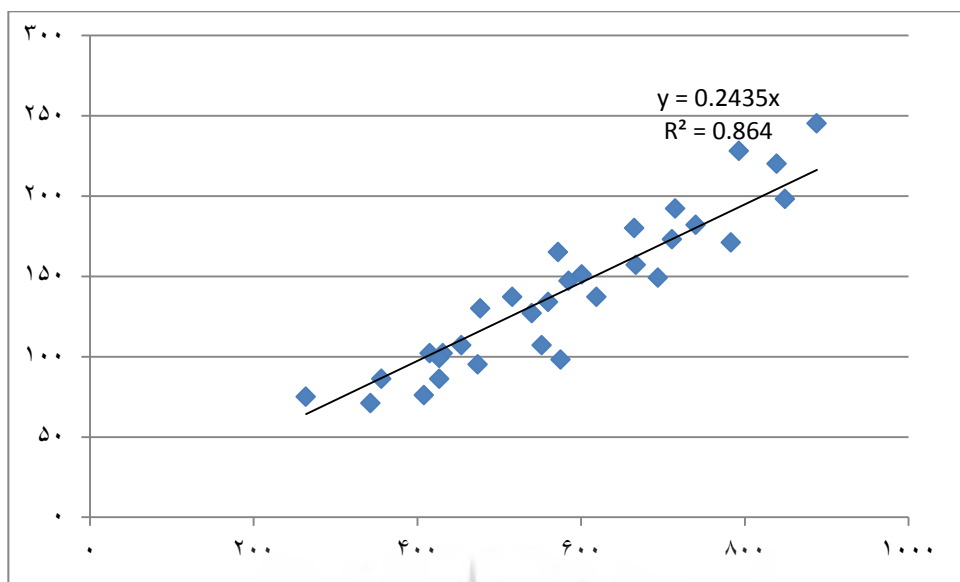
(منبع: نگارندگان، ۱۳۹۹)

در شکل‌های ۳ و ۴ رابطه بین ارتفاع- بارندگی و بارندگی- شدت فرسایندگی باران ارائه شده است. همان‌طور که از شکل‌ها مشاهده می‌شود، بردازش خوبی بین ارتفاع- بارندگی و بارندگی و شدت فرسایندگی باران وجود دارد.



شکل ۳. رابطه بین ارتفاع و بارندگی

(منبع: نگارندگان، ۱۳۹۹)



شکل ۴. رابطه بین بارندگی و فاکتور R

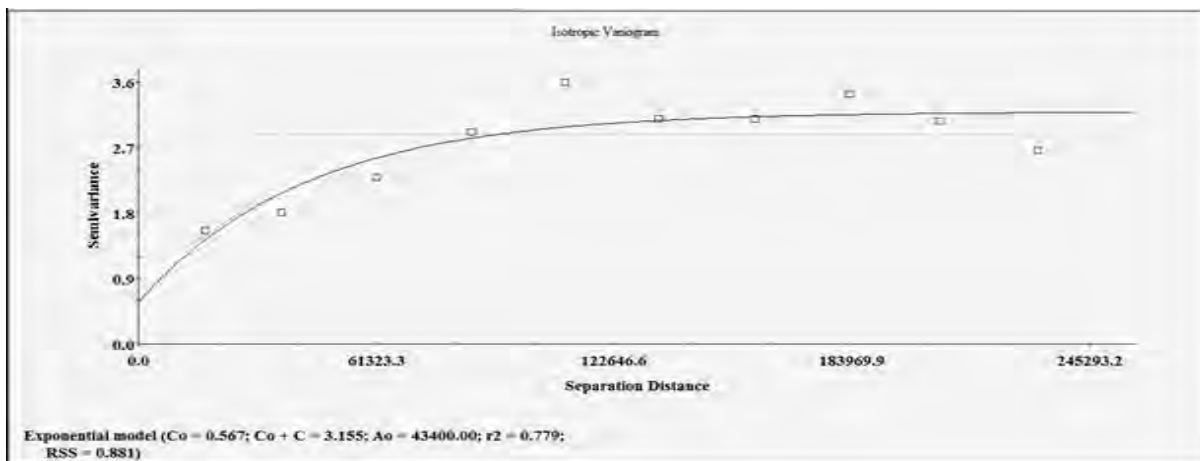
(منبع: نگارندگان، ۱۳۹۹)

در این تحقیق برای نشان دادن همبستگی مکانی بین داده های فرسایندگی باران از ترسیم واریوگرام استفاده شد. نتایج حاصل از ترسیم واریوگرام های مختلف در جدول ۳ مشاهده می شود. در ادامه واریوگرامی برای برآذش بر داده ها استفاده شد که همبستگی مکانی بین داده ها را به صورت مطلوب تری از سایر واریوگرام ها نشان دهد. برای این امر از نسبت میان اثر قطعه ای و سقف واریوگرام استفاده شد. اگر نسبت اثر قطعه ای بر سقف واریوگرام کمتر از ۰/۲۵ باشد، بین داده ها همبستگی مکانی قوی وجود دارد. اگر این نسبت بین ۰/۲۵ تا ۰/۷۵ باشد، میزان همبستگی مکانی متوسط بوده و اگر بیش از ۰/۷۵ درصد باشد، همبستگی مکانی بین داده ها کم بوده یا همبستگی وجود ندارد؛ به همین دلیل از این نسبت برای انتخاب نوع واریوگرام استفاده شد که با توجه به پارامترهای به دست آمده برای واریوگرام های برآذش شده، واریوگرام کروی با میزان ۰/۱۰ بهترین همیستگی بین داده ها را مدل کرده و برای درون یابی استفاده شد (جدول ۳). میرموسوی و همکاران (میرموسوی و همکاران، ۱۳۸۹: ۱۱۲) درجهت تخمین توزیع بارندگی با استفاده از سیستم اطلاعات جغرافیایی در استان اصفهان روش کریجینگ معمولی با واریوگرام کروی را روش بهتری نسبت به سایر روش های زمین آماری کریجینگ معرفی می کنند. همچنین اخوان و همکاران (اخوان و همکاران، ۱۳۸۵: ۹۵) در برآورد ساختار مکانی و برآورد موجودی حجمی جنگلهای خزری با استفاده از روش زمین آمار از واریوگرام کروی استفاده کردند. واریوگرام کروی برآذش شده بر داده ها در شکل ۵ مشاهده می شود. با توجه به اینکه واریوگرام در همه جهات یک روند را نشان می دهد، ناهمسانگردی در منطقه مشاهده نشد.

جدول ۳. پارامترهای تأثیر قطعه ای و سقف واریوگرام به دست آمده برای واریوگرام های برآذش شده

$C_0/C$	C	$C_0$	نوع مدل
۰/۹	۰/۲۱	۰/۲۳	کروی
۰/۱۵	۰/۲۱	۰/۰۲	نمایی
۰/۱۴	۰/۲۱	۰/۰۱	خطی
۰/۳۱	۰/۲۳	۰/۰۷	گوسین

(منبع: نگارندگان، ۱۳۹۹)



شکل ۵. واریوگرام-کروی پرازش داده شده به داده‌ها

(منبع: نگارندگان، ۱۳۹۹)

به طور کلی اگر برآورد داده‌ها بدون انحراف باشد، میانگین خطای برآورد به صفر نزدیک‌تر می‌شود و هرچه فاصله بیشتر شود، میزان انحراف در درون‌یابی نیز بیشتر می‌شود. البته این وابسته به مقیاس داده‌های اندازه‌گیری شده است (Kouli et al. 2009: 490). همچنین این امر درباره میانگین استاندارد خطای برآورده شده نیز صدق می‌کند. از طرف دیگر نیز پایین‌ترین مریع میانگین ریشه خطای، بهترین برآورد را خواهد داشت. همان‌طور که در نتایج ارزیابی دقت روش‌های مورد بررسی آمده است (جدول ۴)، روش تابع پایه شعاعی (RBF) با پایین‌ترین میزان میانگین خطای اریب  $(\frac{67}{37})$  و مریع میانگین ریشه خطای  $(\frac{113}{113})$  بهترین روش برای درون‌یابی در این پژوهش ارزیابی شد. درنهایت با استفاده از روش زمین‌آماری RBF و واریوگرام کروی در محیط نرم‌افزار ArcGIS 10.3 و با استفاده از اکستنشن ژئواستاتیستیک<sup>۱</sup> نحوه توزیع فاکتور فرسایندگی باران با شاخص‌های مختلف مدل شد. با بررسی نتایج به دست آمده از ارزیابی خطای روش‌های درون‌یابی در جدول ۴، می‌توان پس بردا که روش درون‌یابی RBF (RMSE= 113) نسبت به سایر روش‌های درون‌یابی مقدار خطای کمتری دارد. دلایل انتخاب این روش به عنوان روش مناسب ۲ مورد است: ۱) مقدار خطای پایین نسبت به سایر روش‌ها و ۲) عدم تغییر دامنه شاخص‌های اقلیمی است. درون‌یابی به روش تابع پایه شعاعی (RBF) می‌تواند روی داده‌های نوبزداری که به طور نامنظم در یک منطقه پخش شده‌اند، اعمال شده و یک درون‌یابی چندمتغیره هموار روی داده‌ها انجام دهد. این روش تاکنون توسط محققان به منظور درون‌یابی پارامترهای مختلف مورد استفاده قرار گرفته است، تجربیات نشان می‌دهد که می‌تواند نتایج خوبی در کاربردهای مختلف ایجاد کند. میزان دقت سه روش دیگر براساس RMSE به ترتیب روش کریجینگ (۱۳۴)، IDW (۱۷۰) و چندجمله‌ای جهانی (۳۲۰) است. روش فورنیه اصلاح شده دقیق‌ترین شاخص در بین ۴ شاخص است.

<sup>1</sup>. Geostatistic

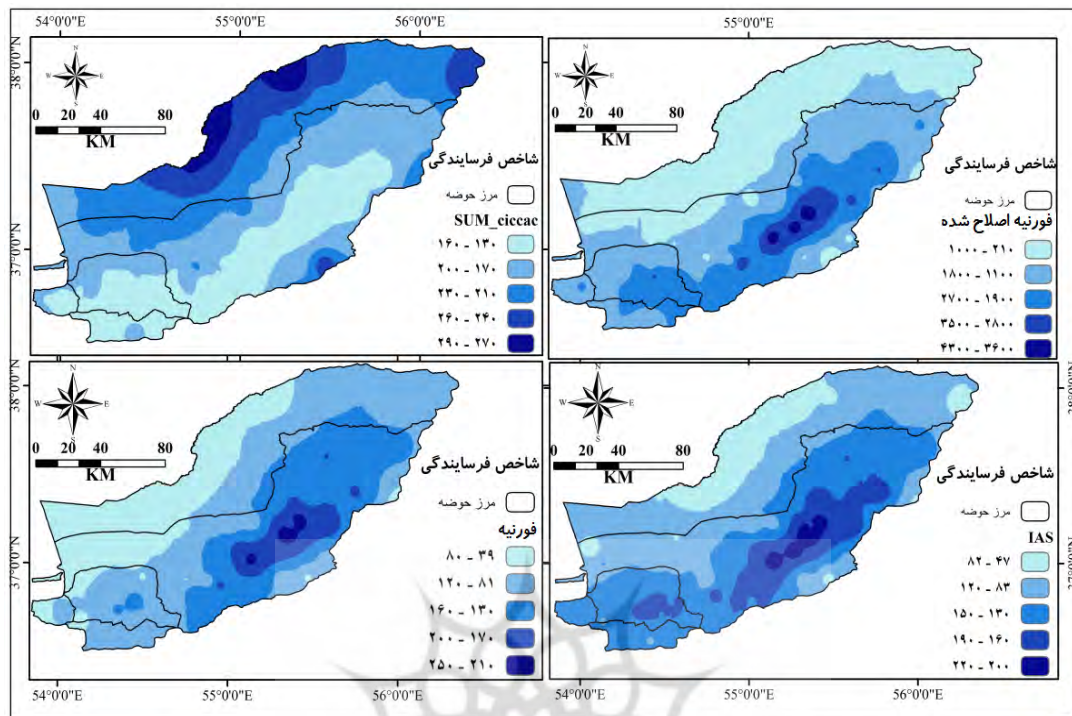
جدول ۴. ارزیابی پهنگندی شاخص‌های فرسایندگی باران، مقدار خطای روش‌های درون‌یابی با استفاده از شاخص‌های خطایاب

MBE	MAE	RMSE	شاخص‌های فرسایندگی	روش‌های درون‌یابی
۰/۲۳	۵۴/۲۴	۲۵۵	فوريئنه	روش عکس فاصله
۰/۱۷	۴۵/۱۵	۱۷۰	فوريئنه اصلاح شده	
۰/۱۹	۵۰/۳۲	۱۹۰	IAS	
۰/۱۸	۴۶/۴۵	۱۸۰	Ciccacci	
۰/۳۳	۷۸/۷۸	۴۹۶	فوريئنه	چندجمله‌ای جهانی
۰/۲۷	۶۵/۵۶	۳۲۰	فوريئنه اصلاح شده	
۰/۲۹	۷۶/۷۶	۴۷۶	IAS	
۰/۶۸	۹۴/۶۷	۷۳۴	Ciccacci	
۰/۳۳	۶۴/۶۷	۳۰۵	فوريئنه	تابع پایه شعاعی
۰/۲۷	۳۷/۶۷	۱۱۳	فوريئنه اصلاح شده	
۰/۲۹	۳۹/۳۸	۱۷۰	IAS	
۰/۶۸	۳۸/۹۷	۱۶۸	Ciccacci	
۰/۴۳	۸۷/۷۸	۲۸۹	فوريئنه	کریجینگ
۰/۲۷	۵۴/۳۴	۱۳۴	فوريئنه اصلاح شده	
۰/۳۱	۵۵/۱۲	۱۷۸	IAS	
۰/۳۰	۵۵/۳۲	۱۷۶	Ciccacci	

(منبع: نگارندهان، ۱۳۹۹)

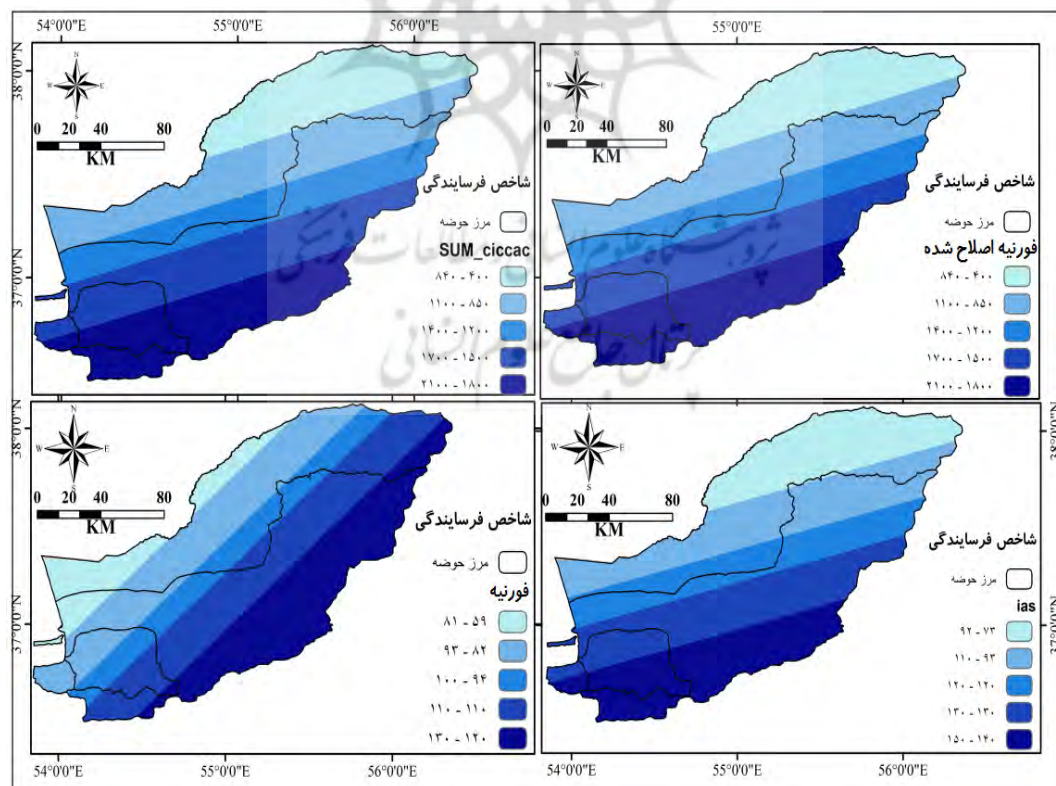
شکل‌های ۶، ۷، ۸ و ۹ نقشه‌های پهنگندی شاخص‌های فرسایندگی با انواع روش‌های درون‌یابی را نشان می‌دهند. با توجه به تعداد بالای ایستگاه‌های موجود در منطقه و نحوه توزیع مناسب آن‌ها، شاهد پهنگندی کاملی از منطقه هستیم.

بر طبق نتایج، مقادیر فرسایندگی باران با تغییرات میزان بارندگی همبستگی معنی‌داری دارد؛ به‌طوری‌که مناطق با بارندگی زیاد و کم به ترتیب دارای فرسایندگی زیاد و کم دارند؛ بنابراین می‌توان مقادیر فرسایندگی باران حاصل از داده‌های بارش را به عنوان برآورد خوبی از پتانسیل فرسایش منطقه به کار گرفت. نقشه فرسایندگی باران تنها نشان‌دهنده پتانسیل فرسایش ناشی از فرسایندگی باران است و سایر عوامل تأثیرگذار در فرسایش منطقه شامل فرسایش‌پذیری خاک، تپیوگرافی، پوشش گیاهی و نحوه استفاده و مدیریت اراضی در منطقه قابل بررسی هستند.



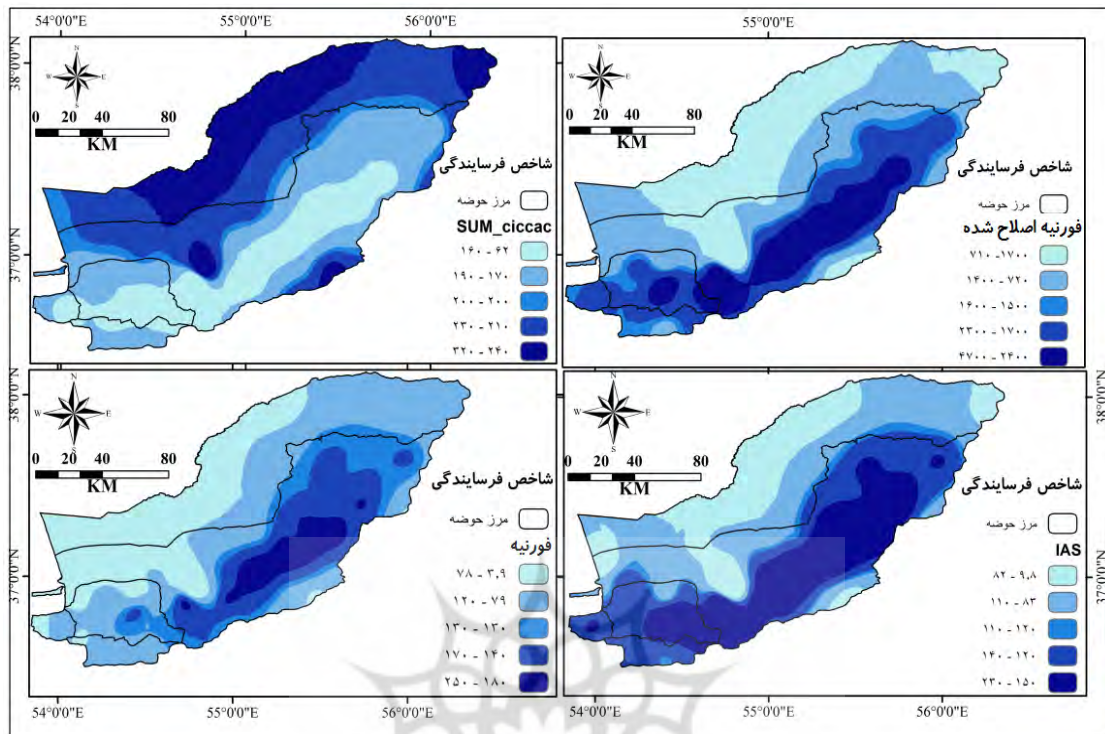
شکل ۶. نقشه توزیع فاکتور فرسایندگی باران با استفاده از روش IDW

(منبع: نگارندهان، ۱۳۹۹)



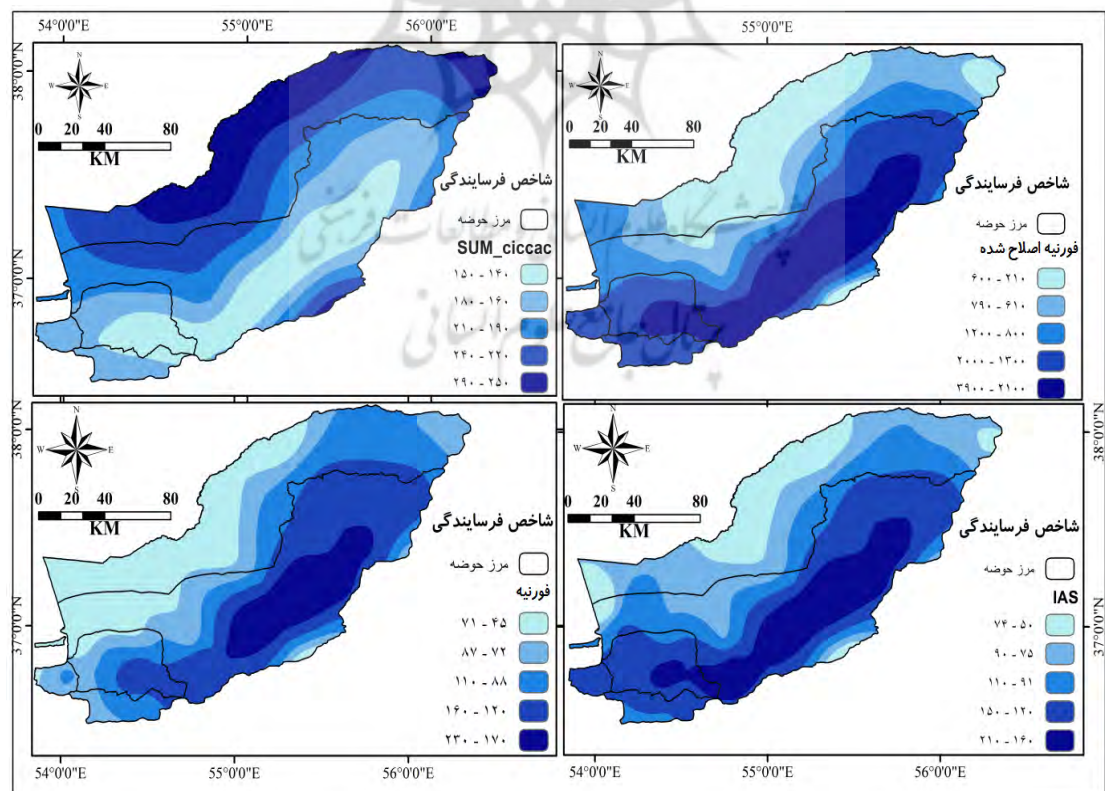
شکل ۷. نقشه توزیع فاکتور فرسایندگی باران با استفاده از روش GPI

(منبع: نگارندهان، ۱۳۹۹)



شکل ۸. نقشه توزیع فاکتور فرسایندگی باران با استفاده از روش RBF

(منبع: نگارندگان، ۱۳۹۹)



شکل ۹. نقشه توزیع فاکتور فرسایندگی باران با استفاده از روش Kriging

(منبع: نگارندگان، ۱۳۹۹)

براساس نتایج حاصل از خروجی نقشه‌ها، می‌توان چنین استباط کرد که مقدار و شدت فرسایندگی باران از قسمت میانی استان به سمت شرق، شمال و جنوب استان کاهش می‌یابد.

### نتیجه‌گیری

فرسایندگی باران به عنوان یکی از مهم‌ترین عوامل تأثیرگذار بر فرسایش خاک مطرح است که در قالب شاخص‌هایی بیان می‌شود. فرسایش خاک یک مشکل مهم اجتماعی و اقتصادی و یک عامل ضروری در ارزیابی سلامتی و کارکرد اکوسیستم است. این پدیده، فرایندی تدریجی است که هنگام برخورد عامل فرسایش‌دهنده، مانند آب یا باد، به سطح خاک اتفاق افتاده و باعث جداشدن و حرکت ذرات خاک و نهایتاً تخریب آن می‌شود.

رابطه بارش با فاکتور فرسایندگی باران می‌تواند صحت خوبی برای درنظرگرفتن این فاکتور به عنوان فاکتور فرسایندگی باران باشد که مقدار  $R^2$  آن برابر با ۰/۹۹ است. داسیلووا (۲۰۰۴: ۲۵۵) در کشور بزریل همبستگی بالای تغییرات فرسایندگی باران با تغییرات بارش متوسط سالانه را گزارش دادند. با توجه به نتایج، مدل تغییر نمای کروی، به عنوان ساختار فضایی ارجح بر روی داده‌ها برای پنهان‌بندی کمیت قدرت فرسایندگی باران در استان گلستان است.

درجهت کمی کردن تأثیر عامل فرسایندگی باران در کمیت فرسایش خاک، شاخص‌های مختلفی در مطالعات مختلف و در سطح دنیا توسعه داده شده‌اند. این تحقیق با هدف تعیین بهترین شاخص فرسایندگی و همچنین بهترین روش درون‌یابی در شرایط اقلیمی نیمه‌مرطوب استان گلستان انجام شد. هدف از انجام این تحقیق، تعیین الگوی تغییرات مکانی فرسایندگی باران در استان گلستان با استفاده از چهار شاخص فورنیه، فورنیه اصلاح شده، IAS و Ciccacci است. به صورتی که قدرت فرسایندگی باران در ۳۱ ایستگاه باران‌سنجدی استان گلستان محاسبه شد و برای تبدیل این اطلاعات نقطه‌ای به اطلاعات ناحیه‌ای از روش‌های درون‌یابی مبتنی بر زمین‌آمار استفاده شده است. فرض بر این است که از روش‌های زمین‌آماری می‌توان برای برآورد شاخص‌های مختلف استفاده کرد و یکی از این روش‌ها را می‌توان به عنوان روش برتر با توجه به شرایط منطقه مورد مطالعه معرفی کرد.

براساس نتایج ارائه شده در این تحقیق، از بین چهار روش درون‌یابی، روش RBF نسبت به سه روش دیگر IDW و کریجینگ نتایج بهتری را ارائه کرده است. از آن‌جاکه این مدل برای حل مسائل پیش‌بینی، احتیاج به مجموع الگوهای ورودی و خروجی دارد، دارای یک توانایی است که به عنوان یک درون‌یاب مستقل متغیر مکانی را در یک منطقه پیش‌بینی کند. نتایج این بخش از تحقیق، با نتایج آپایدین و همکاران (۲۰۰۴: ۳۵) و عیوضی و مساعدی (۱۳۹۱: ۵۷) مطابقت دارد. درون‌یابی به روش تابع پایه شعاعی (RBF) می‌تواند روی داده‌های نویزداری که به طور نامنظم در یک منطقه پخش شده‌اند، اعمال شده و یک درون‌یابی چندمتغیره هموار روی داده‌ها انجام دهد. این روش تاکنون توسط محققان به منظور درون‌یابی پارامترهای مختلف مورد استفاده قرار گرفته است، تجربیات نشان می‌دهد که می‌تواند نتایج خوبی در کاربردهای مختلف ایجاد کند. این در حالی است که روش کریجینگ از بین روش‌های زمین‌آمار به عنوان مناسب‌ترین روش برای کشور سوئیس معرفی کرد (Meusberger et al, 2012: 172).

نتایج این تحقیق نشان داد که انواع روش‌های زمین‌آماری با درنظرگرفتن خودهمبستگی مکانی داده‌ها به خوبی قابلیت تلفیق نشان داد که میان سیستم اطلاعات جغرافیایی را دارند. همچنین واریوگرام‌های مورد استفاده در این تحقیق به خوبی نشان دادند که ترسیم واریوگرام علاوه بر اثبات داده‌های فرسایندگی باران، قابلیت مدل کردن

تغییرات همبستگی مکانی در جهت‌های مختلف را نیز دارند. از جمله موارد دیگری که برای بهبود درون‌یابی‌های انجام شده می‌توان نام برد، مقایسه تعداد بیشتری مدل‌های واریوگرام تجربی و انتخاب واریوگرامی است که بهترین همبستگی را نشان دهد (در این تحقیق از چهار مدل واریوگرام مختلف استفاده شد). در صورت وجود ایستگاه‌های بارندگی بیشتر می‌توان دقت درون‌یابی را نیز افزایش داد.

توزیع فاکتور فرسایندگی باران به روش تابع پایه شعاعی نشان می‌دهد در قسمت‌های میانی استان مقدار فرسایندگی باران حداکثر و هرچه به طرف جنوب، شمال و شرق پیش می‌رویم، مقدار آن کاهش می‌یابد. پس می‌توان نتیجه گرفت که میزان فرسایندگی باران با فاکتورهای ارتفاع و بارندگی رابطه مستقیم دارد. البته با درنظر گرفتن سایر پارامترهای تأثیرگذار از جمله جهت، شیب و سایر پارامترهای دیگر در بالا بردن دقت برآورد فاکتور فرسایندگی باران از طریق درون‌یابی مؤثر است. با توجه به اینکه در تحقیق حاضر، تغییرات مکانی شاخص فرسایندگی باران مورد بررسی قرار گرفته است، توصیه می‌شود تغییرات زمانی آن نیز برای فضول مختلف نیز مورد مطالعه قرار گیرد. نتایج و اطلاعات خروجی این تحقیق را می‌توان برای برآورد مقادیر فرسایش و رسوب و اولویت‌بندی مناطق استان گلستان درجهت اجرای پروژه‌های کنترل فرسایش و رسوب مورد استفاده قرار داد.

## منابع

احمدی، حسن؛ جوادی، محمدرضا؛ صلوانی، عقیق. (۱۳۹۳). پهنه‌بندی فرسایندگی باران به روش فورنیه با استفاده از برخی روش‌های درون‌یابی (مطالعه موردی: استان قزوین). *فصلنامه علمی-پژوهشی اکوسیستم‌های طبیعی ایران*، دانشگاه آزاد اسلامی واحد نور، دوره ۵، شماره ۲، صص ۱-۱۴.

[http://neijournal.iaunour.ac.ir/article\\_520558\\_1f7488d491ac81f272d2dc1786208ac3.pdf](http://neijournal.iaunour.ac.ir/article_520558_1f7488d491ac81f272d2dc1786208ac3.pdf)

اخوان، رضا؛ زبیری، محمود؛ زاهدی امیری، قوام‌الدین؛ نمیرانیان، منوچهر؛ ماندالاز، دنیل. (۱۳۸۵). بررسی ساختار مکانی و برآورد موجودی حجمی جنگل‌های خزری با استفاده از روش موجودی حجمی جنگل‌های خزری با استفاده از روش زمین‌آماری. *مجله منابع طبیعی*، دانشکده منابع طبیعی دانشگاه تهران، دوره پنجم‌ونهم، شماره ۱، صص ۸۹-۱۰۱.

<https://www.sid.ir/FileServer/JF/56513850107.pdf>

ثقفیان، بهرام؛ رزمخواه، هما؛ قرم‌چشم، باقر. (۱۳۹۰). بررسی تغییرات منطقه‌ای بارش سالانه با کاربرد روش‌های زمین‌آمار (مطالعه موردی: استان فارس). *مجله مهندسی منابع آب*، دانشگاه آزاد اسلامی واحد مرودشت، سال چهارم، شماره ۹، صص ۲۸-۳۸.

[http://wej.miau.ac.ir/article\\_1629\\_3424ad1c420f51cf1e7f7e77245bc632.pdf](http://wej.miau.ac.ir/article_1629_3424ad1c420f51cf1e7f7e77245bc632.pdf)

حسنی‌پاک، علی‌اصغر. (۱۳۷۷). زمین‌آمار (قواستاتیستیک). تهران: انتشارات دانشگاه تهران. ۳۱۴ ص.

<https://www.adinehbook.com/gp/product/9640340219>

حسنی‌پاک، علی‌اصغر. (۱۳۸۶). زمین‌آمار. تهران: دانشگاه تهران. ۳۸۰ صفحه.

[https://eshraghipub.com\\_Detail](https://eshraghipub.com_Detail)

رضائی، پیمان؛ فریدی، پروانه؛ قربانی، منصور؛ کاظمی، محمد. (۱۳۹۳). برآورد فرسایش خاک با استفاده از مدل RUSLE و شناسائی مؤثرترین عامل آن در حوزه آبخیز گابریک-جنوب خاوری استان هرمزگان، پژوهش‌های ژئومورفولوژی کمی، انجمن ایرانی ژئومورفولوژی، سال سوم، شماره ۱، صص ۹۷-۱۱۳.

<http://ensani.ir/file/download/article/20160105163012-10010-82.pdf>

سالاروند، جواد؛ قاسمی‌آقباش، فرهاد؛ اسداللهی، زهرا. (۱۳۹۷). تهیه نقشه فرسایندگی باران استان لرستان با استفاده از روش زمین‌آماری کریجینگ، پژوهش‌های اقلیم شناسی، سازمان هواسناسی کشور-پژوهشکده اقلیم شناسی، شماره ۳۶، صص ۵۷-۷۲.

[http://clima.irimo.ir/article\\_92044\\_973ed7d5e274d48d2e208b0bc383984c.pdf](http://clima.irimo.ir/article_92044_973ed7d5e274d48d2e208b0bc383984c.pdf)

صادقی، سید حمیدرضا؛ ذبیحی، محسن. (۱۳۹۷). تحلیل همروندی تغییرات شاخص‌های فرسایندگی فورنیه اصلاح شده و بارش استاندارد شده در استان خراسان شمالی، مهندسی و مدیریت آبخیز، پژوهشکده حفاظت خاک و آبخیزداری با همکاری انجمن آبخیزداری ایران، دوره دهم، شماره ۴، صص ۵۰۶-۵۱۵.

[https://jwem.areeo.ac.ir/article\\_117879\\_7a536db68b1ed44da728848095e53773.pdf](https://jwem.areeo.ac.ir/article_117879_7a536db68b1ed44da728848095e53773.pdf)

علیزاده، امین. (۱۳۶۸). فرسایش و حفاظت خاک(ترجمه)، انتشارات آستان قدی رضوی (اداره امور فرهنگی)، ۲۵۸ ص.

<http://www.lib.ir › book>

عیوضی، معصومه؛ مساعدی، ابوالفضل. (۱۳۹۱). بررسی الگوی گسترش مکانی بارش در سطح استان گلستان با استفاده از مدل‌های قطعی و زمین‌آماری. مجله آب و خاک. دانشگاه فردوسی مشهد، دوره بیست و ششم، شماره ۱، صص ۶۴-۵۳.

[https://jsw.um.ac.ir/article\\_35801\\_01f3c461a2466154e089b9024b396a48.pdf](https://jsw.um.ac.ir/article_35801_01f3c461a2466154e089b9024b396a48.pdf)

غلامی، حمید؛ فتحی‌زاد، حسن؛ صفری، عطا؛ بنیاز، مهدی. (۱۳۹۴). برآورد فاکتور فرسایندگی باران با استفاده از الگوریتم‌های زمین‌آمار (مطالعه موردی: استان ایلام)، فصلنامه علمی-پژوهشی پژوهش‌های فرسایش محیطی، دانشگاه هرمزگان، دوره پنجم، شماره ۴، صص ۱-۱۶.

<http://magazine.hormozgan.ac.ir/article-1-256-fa.pdf>

عادلی، بهزاد؛ غلامی، حمید؛ نفرزادگان، علیرضا. (۱۳۹۵). بررسی خصوصیات الگوی توزیع مکانی فرسایندگی باران در استان هرمزگان. پژوهش‌های ژئومورفولوژی کمی، انجمن ایرانی ژئومورفولوژی، دوره پنجم، شماره ۲، صص ۹۴-۱۰۹.

<https://www.sid.ir/FileServer/JF/4032413950207.pdf>

گرامی، زهرا؛ عربخدری، محمود؛ اسدی، حسین؛ بیات، رضا. (۱۳۹۶). تغییرات رسوبدهی معلق تحت تأثیر چرخه فرسایندگی باران در حوضه آبخیز سرخاب. مجلة علوم و مهندسی آبخیزداری ایران، انجمن آبخیزداری ایران، دوره یازدهم، شماره ۳۸، صص ۶۱-۷۲.

<http://jwmsei.ir/article-1-640-fa.pdf>

ختاری، داود؛ ولیزاده، کامران؛ خلیل، مرادی؛ مطلق، احسان. (۱۳۹۸). بررسی نقش تغییر روش‌های درون‌یابی برای تولید عامل R در برآورد فرسایش خاک حوضه‌های آبریز به روش RUSLE (مطالعه موردی: حوضه آبریز بالارود)، پژوهش‌های ژئومورفولوژی کمی، انجمن ایرانی ژئومورفولوژی، دوره هشتم، شماره ۳، صص ۲۲۲-۲۴۱.

<https://www.sid.ir/FileServer/JF/4032413980313.pdf>

میرموسوی، سید حسین؛ مزیدی، احمد؛ خسروی، یونس. (۱۳۸۹). تعیین بهترین روش زمین‌آمار درجهت تخمین توزیع بارندگی با استفاده از GIS (مطالعه موردی: استان اصفهان)، فضای جغرافیایی، دانشگاه آزاد اسلامی واحد اهر، دوره سی‌ام، شماره ۱۰، صص ۱۰۵-۱۲۰.

<https://www.sid.ir/FileServer/JF/40013893006.pdf>

نظرزاد، حبیب؛ شاه حسین، تارا؛ اسدزاده، فخر. (۱۳۹۷). تغییرات مکانی و زمانی فرسایندگی باران در استان آذربایجان غربی. جغرافیا و پایداری محیط، دانشگاه رازی، دوره هشتم، شماره ۲، صص ۸۹-۹۹.

[https://ges.razi.ac.ir/article\\_921\\_99e85dc89a692eac5e9b58b31a9274bf.pdf](https://ges.razi.ac.ir/article_921_99e85dc89a692eac5e9b58b31a9274bf.pdf)

نیک‌کامی، داود؛ مهدیان، محمدحسین. (۱۳۹۳). تهیه نقشه شاخص مناسب فرسایندگی باران کشور. مهندسی و مدیریت آبخیز، پژوهشکده حفاظت خاک و آبخیزداری با همکاری انجمن آبخیزداری ایران، دوره ششم، شماره ۴، صص ۳۶۴-۳۷۶.

[https://jwem.areeo.ac.ir/article\\_100819\\_07a772897256f7078a6e2ceeb29b5951.pdf](https://jwem.areeo.ac.ir/article_100819_07a772897256f7078a6e2ceeb29b5951.pdf)

وفاخواه، مهدی؛ محسنی‌ساروی، محسن؛ مهدوی، محمد؛ علوی‌بناه، سید کاظم. (۱۳۸۷). کاربرد زمین‌آمار در برآورد عمق و چگالی برف در حوضه آبخیز اورازان. نشریه علوم و مهندسی آبخیزداری ایران، انجمن آبخیزداری ایران، دوره دوم، شماره ۴، صص ۴۹-۵۵.

<https://www.sid.ir/FileServer/JF/48813870405.pdf>

Apaydian, H., Sonmez, K., Yildirim, E. (2004). "Spatial interpolation techniques for climate data in the GAP region in Turkey". Journal of Climate Research, 28(1): 31-40.

[https://www.researchgate.net/profile/HalitApaydin/publication/250221607\\_Spatial\\_Interpolation\\_Techniques\\_for\\_Climate\\_Data\\_in\\_the\\_Gap\\_Region\\_in\\_Turkey/inline/jViewer/5a211b59aca272ab5a62334f?inViewer=1&pdfJsDownload=1&origin=publication\\_detail&previewAsPdf=false](https://www.researchgate.net/profile/HalitApaydin/publication/250221607_Spatial_Interpolation_Techniques_for_Climate_Data_in_the_Gap_Region_in_Turkey/inline/jViewer/5a211b59aca272ab5a62334f?inViewer=1&pdfJsDownload=1&origin=publication_detail&previewAsPdf=false)

Arnoldus, H.M.J. (1980). An approximation of the rainfall factor in the Universal Soil Loss Equation. In: De Boodt, M., Gabriels, D. Eds., Assessment of Erosion. Chichester, New York. pp. 127-132.

[https://www.scirp.org/\(S\(czeh2tfqyw2orz553k1w0r45\)\)/reference/ReferencesPapers.aspx?ReferenceID=1687726](https://www.scirp.org/(S(czeh2tfqyw2orz553k1w0r45))/reference/ReferencesPapers.aspx?ReferenceID=1687726)

Da Silva, A.M. (2004). Rainfall erosivity map for Brazil. Catena, 57(3), 251-259.

[https://edisciplinas.usp.br/pluginfile.php/299519/mod\\_resource/content/0/Artigo%201%20-%20Silva%202004.pdf](https://edisciplinas.usp.br/pluginfile.php/299519/mod_resource/content/0/Artigo%201%20-%20Silva%202004.pdf)

Fournier, F. (1956). The effect of climatic factors on soil erosion estimates of solids transported in suspension in runoff. Association Hydrologic Int. Public, 38:6.

Fournier, F. (1960). Climate and erosion.paris university of paris.

Hadley, R.F., Lal, R., Onstad, C.A., Walling, D.E., Yair A. (1985). Recent developments in erosion and sediment yield studies. UNESCO, Paris, 127 pp.

Hasani Pak, A. 2013. Geostatistics. Tehran University Press, 314 (In Persian).

<https://eshraghipub.com/product/detail/55753/>

Kouli, M., Soupios, P., Vallianatos, F. (2009). Soil erosion prediction using the Revised Universal Soil Loss Equation (RUSLE) in a GIS framework, Chain, Northwestern Crete, Greece. Environment Geology. 57: 483-497.

<https://www.semanticscholar.org/paper/Soil-erosion-prediction-using-the-Revised-Universal-Kouli-Soupios/9b92e98c7dd4ac8aadecdf398e20815541d0e871>

Lal, R., Elliot , W. (1994). Erodibility and erosivity. In Lal, R. (ed.), Soil erosion research methods. Soil and Water Conservation Society. Ankeny. 181-208.

<https://www.taylorfrancis.com/chapters/edit/10.1201/9780203739358-8/erodibility-erosivity-lal-elliot>

Meusburger, K., Steel, A., Panagos, P., Montanarella, L., Alewell, C. (2012). Spatial and temporal variability of rainfall erosivity factor for Switzerland. Hydrology and Earth System Sciences, 16, 167-177.

[https://doi.org/10.5194/hess-16-167-2012\\_2012](https://doi.org/10.5194/hess-16-167-2012_2012)

Morgan, R.P.C. (1995). Soil erosion and conservation Addison-Wesley.london, 198p.

[https://www.scirp.org/\(S\(i43dyn45teexjx455qlt3d2q\)\)/reference/ReferencesPapers.aspx?ReferenceID=117218](https://www.scirp.org/(S(i43dyn45teexjx455qlt3d2q))/reference/ReferencesPapers.aspx?ReferenceID=117218)

Onori, F., Bonis, P.D., Grauso, S. (2006). Soil erosion prediction at the basin scale using the revised universal soil loss equation (RUSLE) in a catchment of Sicily (southern Italy). Environ Geol. 50: 1129-1140.

<https://doi.org/10.1007/s00254-006-0286-1>

Oliveira, P.T.S., Wendland, E., Nearing, M.A. (2013). Rainfall erosivity in Brazil: a review, Catena, 100:139–147.

<https://doi.org/10.1016/j.catena.2012.08.006>

Safarrad, T., Hashemi, S.H., Amini, J. (2009). Exploitation of Geostatistical Techniques on Rainfall Erosivity Modeling Using Fournier Method (case study: Bash gheshlagh Catchment area) , Natinal Conference on GIS).

[http://neijournal.iaunour.ac.ir/article\\_520558\\_1f7488d491ac81f272d2dc1786208ac3.pdf?lang=en](http://neijournal.iaunour.ac.ir/article_520558_1f7488d491ac81f272d2dc1786208ac3.pdf?lang=en)

Tssung, C.K. (2004). Introduction to geographic information system, 2nd edition, Mc Graw Hill. 384 pages.

<https://www.amazon.com/Introduction-Geographic-Information-Systems-Kang-Tsung/dp/0072528117>

Wang, G., Gertner, G., Singh, V., Shinkareva, S., Parysow, P., Anderson, A. (2002). Spatial and temporal prediction and uncertainty of soil loss using the revised universal soil loss equation: a case study of the rainfall-runoff erosivity R factor. Ecological Modeling, 153:143–155.

[https://doi.org/10.1016/S0304-3800\(01\)00507-5](https://doi.org/10.1016/S0304-3800(01)00507-5)